

SIBGRAPI 2016 – TUTORIAL

Image Operator Learning and Applications

Igor S. Montagner

Nina S. T. Hirata

Roberto Hirata Jr.

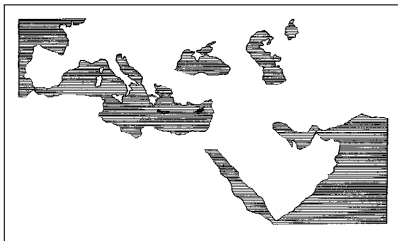
Department of Computer Science
Institute of Mathematics and Statistics
University of São Paulo (USP)

October / 2016



Observed input

Given pairs of images as the ones on the left...



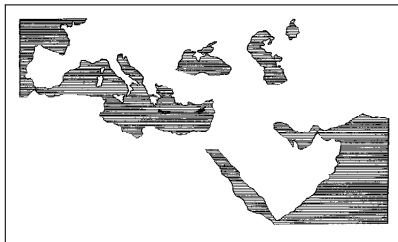
Expected output



Given pairs of images as the ones on the left...

Observed input

$\Psi = ?$

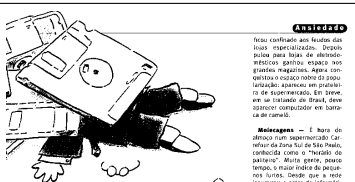


Expected output

Question:

- how to design an image operator Ψ that transforms the input image to the expected output image?

What about this transformation?



Ansiiedade

fezsu confiado aos feudos das lojas especializadas. Depois pilou para lojas de eletrônicos genéricas, depois espaços nos grandes magazines. Agora conquista o espaço nobre da zona comercial: apareceu em pizzaiarias de supermercado. Em breve, em um instante do Braxil, deve aparecer construtor em barraca de camelô.

Melancônis — É hora de alfinçar num supermercado Carrefour da Zona Sul de São Paulo, conhecida como o "barracô de paliteiro". Muita gente, pouco tempo, o maior índice de pequenos surtos. Desde que a rede inaugura o setor de informática, em 15 de agosto, é festa. Gravação, telação, off-cc-beys e cartuchos de telação, estação na frente das máquinas em exposição.

Em meio a melancônis, boscôlis, retrogravação, ninguém tem medo de se aproximar do bicho. Ele supermedrado, ninguém precisa pretender ser especialista. Uma semana alta irritada para uma mensagem em cores verdes, sobre lante azul que teima em piscar no monitor de um micro Qwert! são cliques em exposição e se encaram com as telas coloridas no monitor. Ao contrário de um cartão, que sempre vai comprar sem saber dirigi-lo, ou de uma gelatinosa, que a ninguém interessa saber como funciona pois dá sobre pelo sorriso, o micro serão que o seu dono flor dele. Mas isso ele só descobriu aos poucos, em noites vaidades (leia: repertório no próximo seguinte).

Foi em 1993 que a barraca Física entre a máquina e o computador hospitalina começou a ser erigido espetacularmente. A opção da telação — rápida e prática para quem sabe exatamente o que quer — surgiram pontos de venda em cores e asso para o micro. Inicialmente ele ainda



parador e coloração. Deve-se ser sensorial como o do um cartão, que a gente naturo, tenta, compare, muda a escolha da cor e opcionais vinte vezes antes de fechar o negócio. Na cartão de um micro não teve nada disso — na melhor das hipóteses, pode-se mexer no teclado em exposição e se encaram com as telas coloridas no monitor.

Em 1993 o computador chegou às prateleiras das supermercados no Brasil. De um dia o micro proibido para a população foi um passo

Por que você não planeja comprar um computador?

Eu não tenho dinheiro	10%
Eu não tenho tempo	25%
Eu não sei como usar	15%
Eu não tenho espaço	10%
Eu não tenho conhecimento	35%

que é que a máquina funciona, e isso eu garanto. Não que ele seja bonito, um micro é sempre um micro. Tudo legal. Para carregar é só apertar o "start". Uma inconveniência da Física (gravação, antecônis, pequenas instalações) até se estora para sempre a barraca. "Não explicaria: l'bye tem 8 bits. Um caractere é o mesmo que 1 byte. Mega é sor, portanto Suficiente para qual? Como diria o senhor da Paraíba: "Está certo, está certo".

Para o momento e a laboa do computador, sobretudo aquele que ainda não usa a máquina no trabalho, a aquisição de um cam-



fezsu confiado aos feudos das lojas especializadas. Depois pilou para lojas de eletrônicos genéricas, depois espaços nos grandes magazines. Agora conquista o espaço nobre da zona comercial: apareceu em pizzaiarias de supermercado. Em breve, em um instante do Braxil, deve aparecer construtor em barraca de camelô.

Melancônis — É hora de alfinçar num supermercado Carrefour da Zona Sul de São Paulo, conhecida como o "barracô de paliteiro". Muita gente, pouco tempo, o maior índice de pequenos surtos. Desde que a rede inaugura o setor de informática, em 15 de agosto, é festa. Gravação, telação, off-cc-beys e cartuchos de telação, estação na frente das máquinas em exposição.

Em meio a melancônis, boscôlis, retrogravação, ninguém tem medo de se aproximar do bicho. Ele supermedrado, ninguém precisa pretender ser especialista. Uma semana alta irritada para uma mensagem em cores verdes, sobre lante azul que teima em piscar no monitor de um micro Qwert! são cliques em exposição e se encaram com as telas coloridas no monitor. Ao contrário de um cartão, que sempre vai comprar sem saber dirigi-lo, ou de uma gelatinosa, que a ninguém interessa saber como funciona pois dá sobre pelo sorriso, o micro serão que o seu dono flor dele. Mas isso ele só descobriu aos poucos, em noites vaidades (leia: repertório no próximo seguinte).

Foi em 1993 que a barraca Física entre a máquina e o computador hospitalina começou a ser erigido espetacularmente. A opção da telação — rápida e prática para quem sabe exatamente o que quer — surgiram pontos de venda em cores e asso para o micro. Inicialmente ele ainda

$$\Psi = ?$$

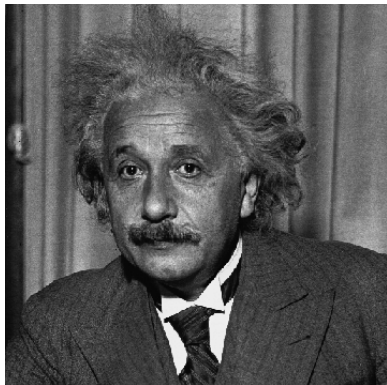
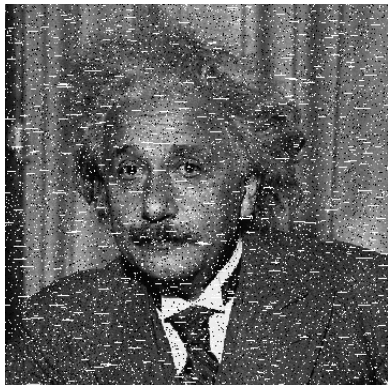


que é que a máquina funciona, e isso eu garanto. Não que ele seja bonito, um micro é sempre um micro. Tudo legal. Para carregar é só apertar o "start". Uma inconveniência da Física (gravação, antecônis, pequenas instalações) até se estora para sempre a barraca. "Não explicaria: l'bye tem 8 bits. Um caractere é o mesmo que 1 byte. Mega é sor, portanto Suficiente para qual? Como diria o senhor da Paraíba: "Está certo, está certo".

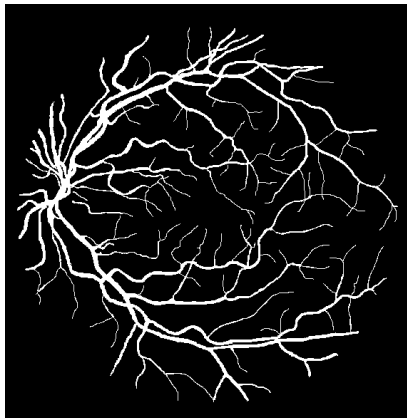
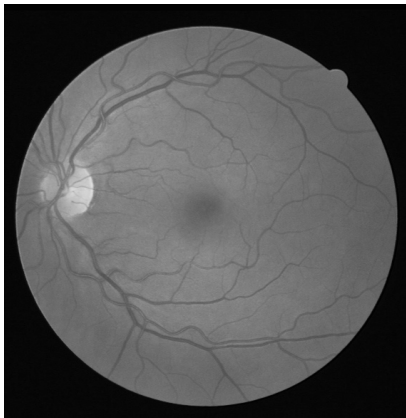
Para o momento e a laboa do computador, sobretudo aquele que ainda não usa a máquina no trabalho, a aquisição de um cam-

Em 1993 o computador chegou às prateleiras das supermercados no Brasil. De um dia o micro proibido para a população foi um passo

And this one?



This one?



Or this one?



- 11 -

おお!
やったぞ
ばーさん!!

ん?

おや?

くせ者!!

あつ

おまえは
笠をもらえ
なかつた地蔵!!

11

Historical overview

1960s: Mathematical morphology was introduced by G. Matheron and J. Serra

1980s: Book by J. Serra (1982)
Nonlinear filters (median, order statistic, stack), morphological filters

1990s: E. R. Dougherty - Design of optimal morphological filters

1994: Junior Barrera - Vision Lab created at IME/USP
We started working on designing morphological operators from training images at that time !!

Today (almost 25 years since then)

Huge **advances** in **image processing**, **computer vision**, **machine learning**, **hardware** and **computing technologies**

High-level × **low-level** processing

- Deep learning (high level image understanding)
- Image operator learning (low level processing)

The second is a building block for the first. Thus, very important.

Plan for this tutorial

1. **Concepts and fundamentals**
2. **Optimal operators**
3. **Learning image operators**
4. **Practice**
5. **Application examples**

Plan for this tutorial

1. **Concepts and fundamentals**

- you will know what an image operator is, and important properties that define a class of operators adequate for the type of processing we are interested on

2. **Optimal operators**

3. **Learning image operators**

4. **Practice**

5. **Application examples**

Plan for this tutorial

1. **Concepts and fundamentals**

- you will know what an image operator is, and important properties that define a class of operators adequate for the type of processing we are interested on

2. **Optimal operators**

- you will know how to characterize what a good image operator is

3. **Learning image operators**

4. **Practice**

5. **Application examples**

Plan for this tutorial

1. **Concepts and fundamentals**

- you will know what an image operator is, and important properties that define a class of operators adequate for the type of processing we are interested on

2. **Optimal operators**

- you will know how to characterize what a good image operator is

3. **Learning image operators**

- you will know how to learn image operators from training data

4. **Practice**

5. **Application examples**

Plan for this tutorial

1. **Concepts and fundamentals**

- you will know what an image operator is, and important properties that define a class of operators adequate for the type of processing we are interested on

2. **Optimal operators**

- you will know how to characterize what a good image operator is

3. **Learning image operators**

- you will know how to learn image operators from training data

4. **Practice**

- you will have the opportunity to do exercises and run code

5. **Application examples**

Plan for this tutorial

1. **Concepts and fundamentals**

- you will know what an image operator is, and important properties that define a class of operators adequate for the type of processing we are interested on

2. **Optimal operators**

- you will know how to characterize what a good image operator is

3. **Learning image operators**

- you will know how to learn image operators from training data

4. **Practice**

- you will have the opportunity to do exercises and run code

5. **Application examples**

- you will see some application examples

Fundamentals on image operators

How to model image transformations ?

Image domain

\mathbb{E} (subset of \mathbb{Z}^2)

Image

$f : \mathbb{E} \rightarrow K$ (K is the set of gray levels)

$K^{\mathbb{E}}$ set of all images defined on \mathbb{E} with gray-levels in K

Image operator

$\Psi : K^{\mathbb{E}} \rightarrow K^{\mathbb{E}}$

$[\Psi(f)](p)$ value of the processed image at p

Image operators (mathematical morphology view)

Morphological operators are built by composing basic elementary operators.

Examples of basic operators

- erosion
- dilation
- hit-miss, ...

Structuring elements: parameter of the operators
Simple shapes such as squares, discs, line segments, to locally probe an image and extract geometric structural information

Fundamentals: We will present concepts restricted to binary images, but they hold for gray-scale images too

Binary image operators = set operators

Binary image

$$f : \mathbb{E} \rightarrow \{0, 1\}$$

Binary image = set

$$p \in S_f \iff f(p) = 1$$

Operations on images = operations on sets

Set relations and operations: $\subseteq, \cup, \cap, \cdot^c$

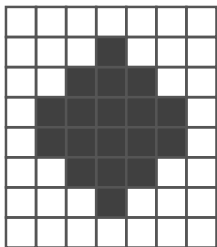
Set translation: $A_p = \{a + p : a \in A\}$

Set reflection: $\check{A} = \{-a : a \in A\}$

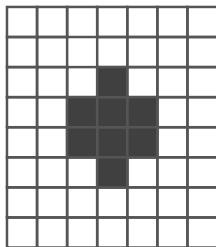
Set interval: $[A, B] = \{X : A \subseteq X \subseteq B\}$

Basic operator: erosion

$$\varepsilon_B(S) = \{p \in E : B_p \subseteq S\}$$



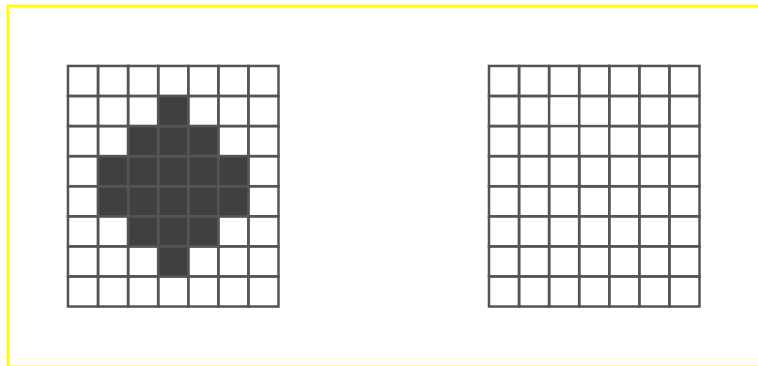
S



$\varepsilon_B(S)$

Basic operator: erosion

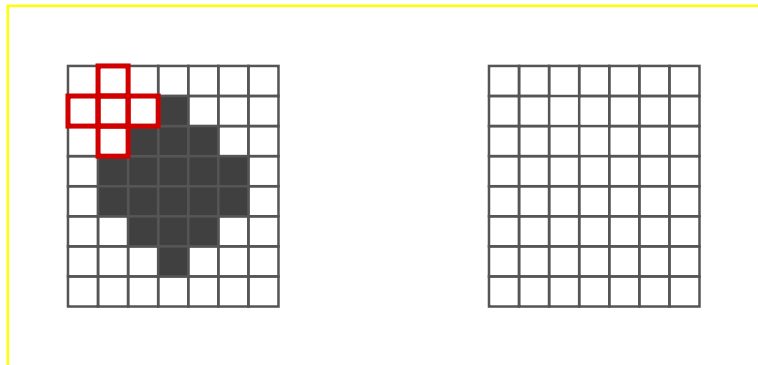
$$\varepsilon_B(S) = \{p \in E : B_p \subseteq S\}$$



How does the erosion work ?

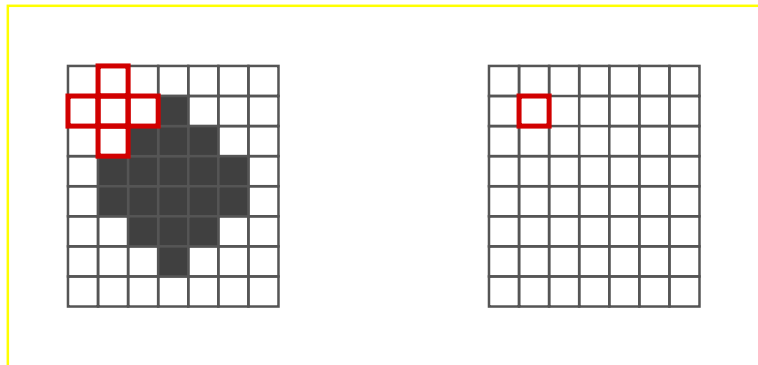
Basic operator: erosion

$$\varepsilon_B(S) = \{p \in E : B_p \subseteq S\}$$



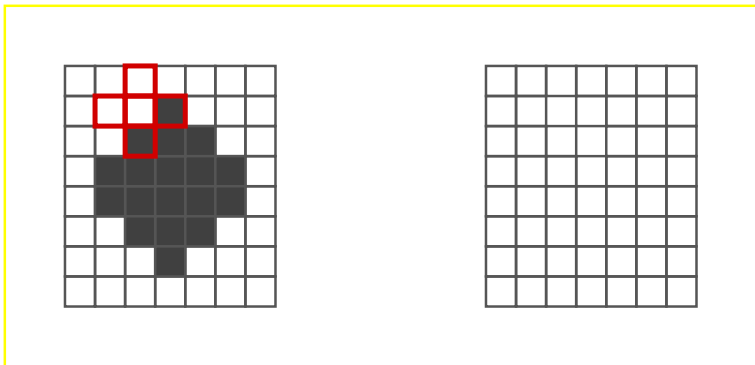
Basic operator: erosion

$$\varepsilon_B(S) = \{p \in E : B_p \subseteq S\}$$



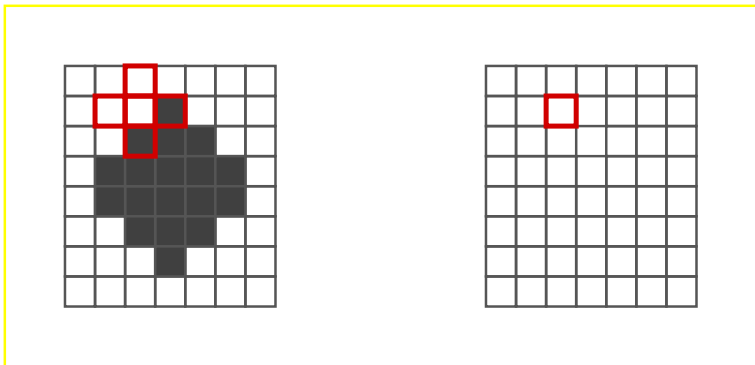
Basic operator: erosion

$$\varepsilon_B(S) = \{p \in E : B_p \subseteq S\}$$



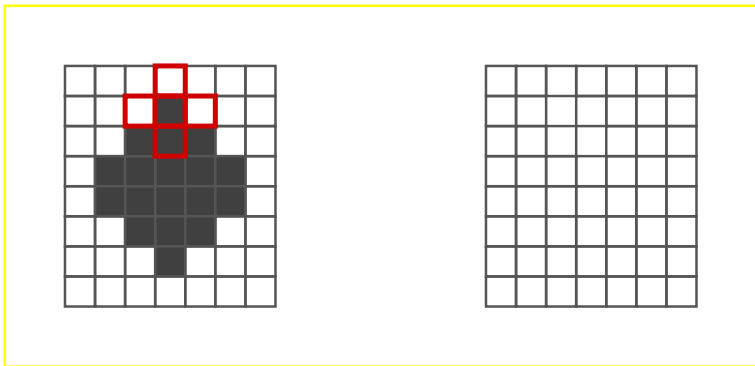
Basic operator: erosion

$$\varepsilon_B(S) = \{p \in E : B_p \subseteq S\}$$



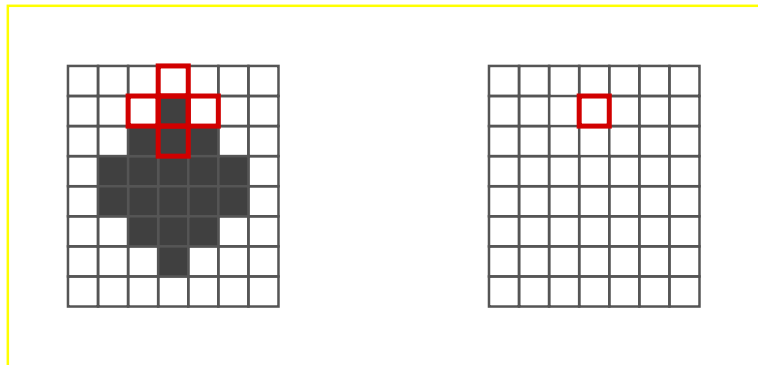
Basic operator: erosion

$$\varepsilon_B(S) = \{p \in E : B_p \subseteq S\}$$



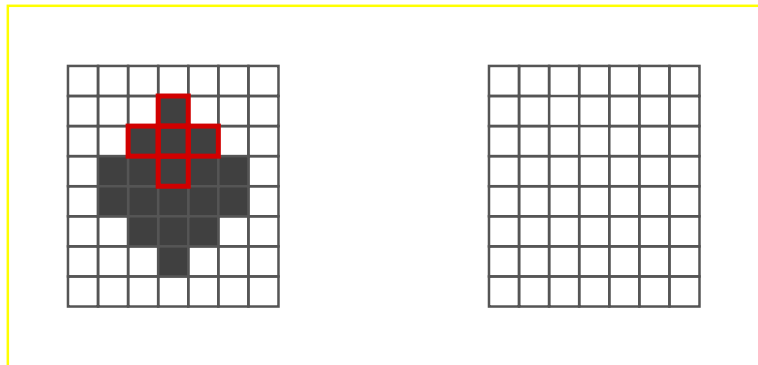
Basic operator: erosion

$$\varepsilon_B(S) = \{p \in E : B_p \subseteq S\}$$



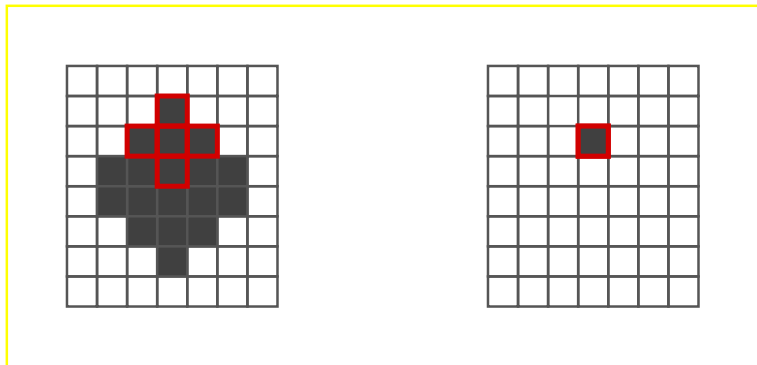
Basic operator: erosion

$$\varepsilon_B(S) = \{p \in E : B_p \subseteq S\}$$



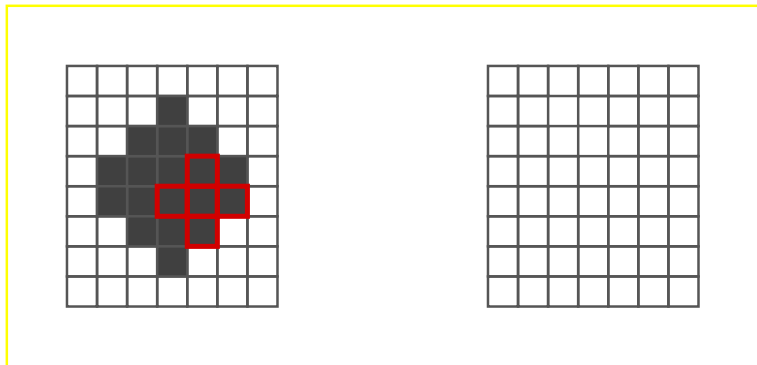
Basic operator: erosion

$$\varepsilon_B(S) = \{p \in E : B_p \subseteq S\}$$



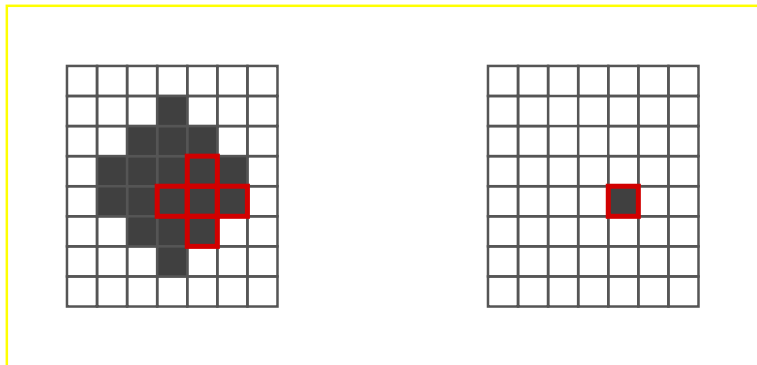
Basic operator: erosion

$$\varepsilon_B(S) = \{p \in E : B_p \subseteq S\}$$



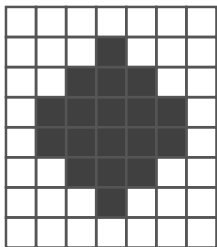
Basic operator: erosion

$$\varepsilon_B(S) = \{p \in E : B_p \subseteq S\}$$

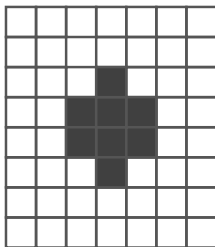


Basic operator: erosion

$$\varepsilon_B(S) = \{p \in E : B_p \subseteq S\}$$



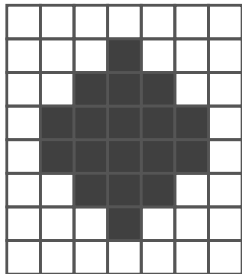
S



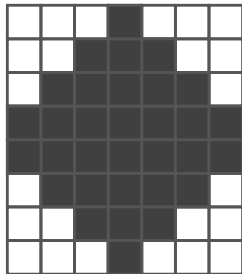
$\varepsilon_B(S)$

Basic operator: dilation

$$\delta_B(S) = \{p \in E : \check{B}_p \cap S \neq \emptyset\}$$



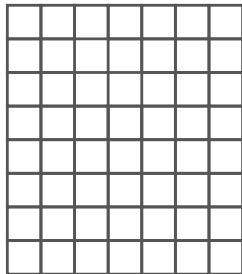
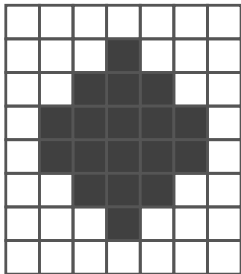
S



$\delta_B(S)$

Basic operator: dilation

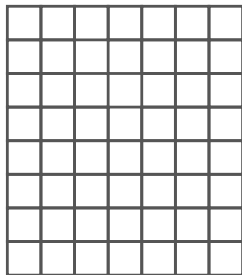
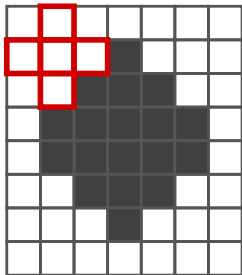
$$\delta_B(S) = \{p \in E : \check{B}_p \cap S \neq \emptyset\}$$



How does the dilation work ?

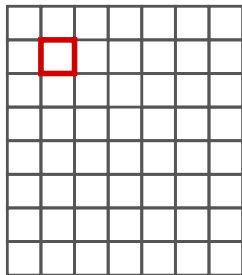
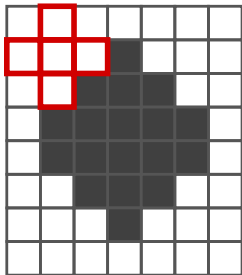
Basic operator: dilation

$$\delta_B(S) = \{p \in E : \check{B}_p \cap S \neq \emptyset\}$$



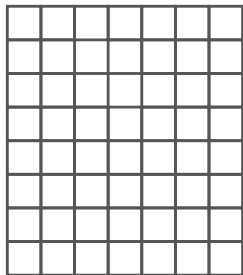
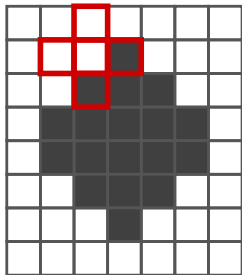
Basic operator: dilation

$$\delta_B(S) = \{p \in E : \check{B}_p \cap S \neq \emptyset\}$$



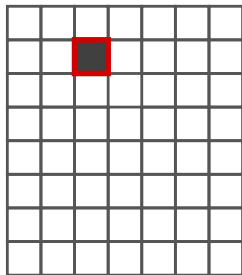
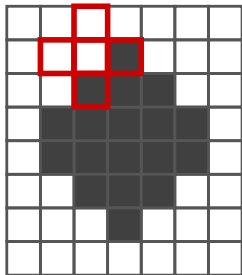
Basic operator: dilation

$$\delta_B(S) = \{p \in E : \check{B}_p \cap S \neq \emptyset\}$$



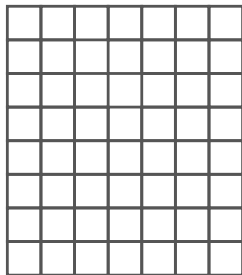
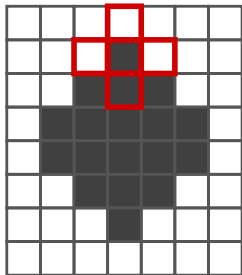
Basic operator: dilation

$$\delta_B(S) = \{p \in E : \check{B}_p \cap S \neq \emptyset\}$$



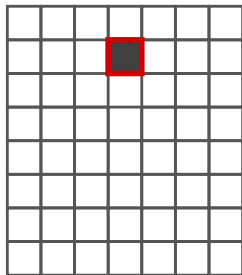
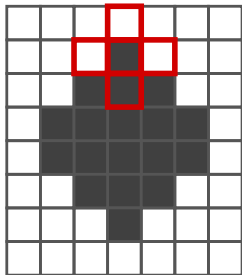
Basic operator: dilation

$$\delta_B(S) = \{p \in E : \check{B}_p \cap S \neq \emptyset\}$$



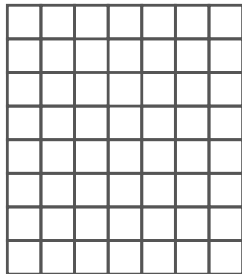
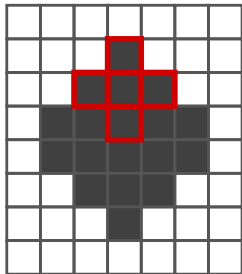
Basic operator: dilation

$$\delta_B(S) = \{p \in E : \check{B}_p \cap S \neq \emptyset\}$$



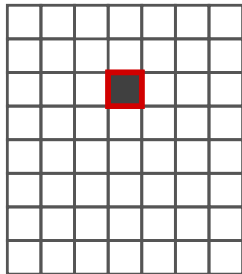
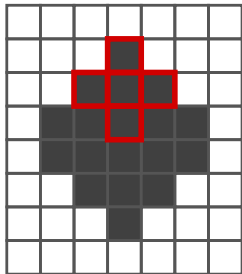
Basic operator: dilation

$$\delta_B(S) = \{p \in E : \check{B}_p \cap S \neq \emptyset\}$$



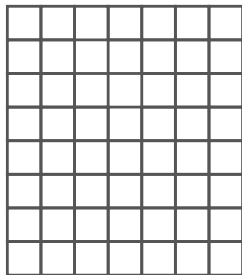
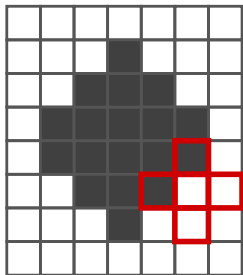
Basic operator: dilation

$$\delta_B(S) = \{p \in E : \check{B}_p \cap S \neq \emptyset\}$$



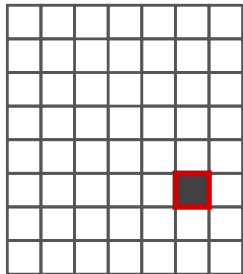
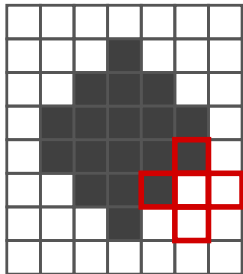
Basic operator: dilation

$$\delta_B(S) = \{p \in E : \check{B}_p \cap S \neq \emptyset\}$$



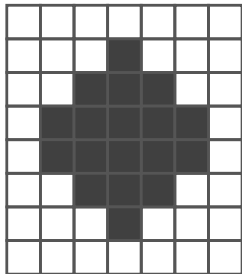
Basic operator: dilation

$$\delta_B(S) = \{p \in E : \check{B}_p \cap S \neq \emptyset\}$$

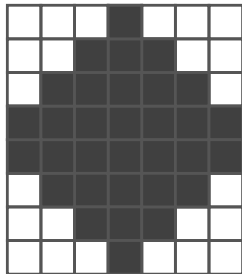


Basic operator: dilation

$$\delta_B(S) = \{p \in E : \check{B}_p \cap S \neq \emptyset\}$$

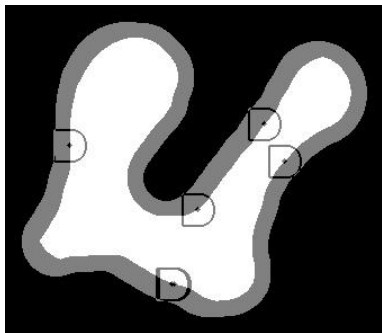


S



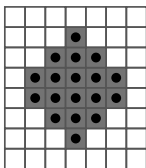
$\delta_B(S)$

Basic operator: erosion and dilation

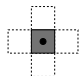


Another basic operator: hit-miss

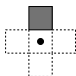
$$H_{(A,B^c)}(S) = \{p \in \mathbb{E} : A_p \subseteq S \text{ and } B_p^c \subseteq S^c\} = \varepsilon_A(S) \cap \varepsilon_{B^c}(S^c)$$



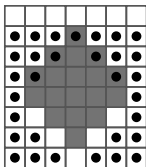
places where A hits S



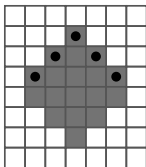
A



B^c



places where B^c hits the background (or, equivalently, misses S)

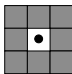


places detected by the hit-miss operator

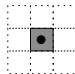
Short break for an exercise

Exercise 1

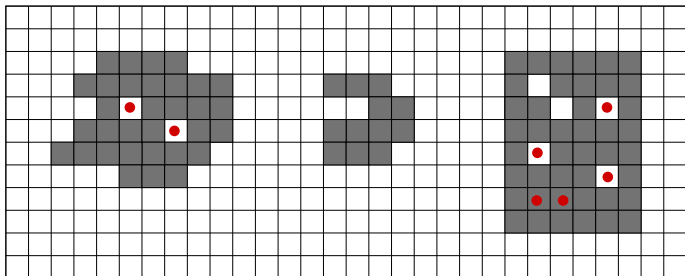
Solution to exercise 1 – structuring element A



A

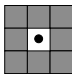


B^c

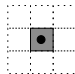


In red, positions x at which A_x fits in the foreground

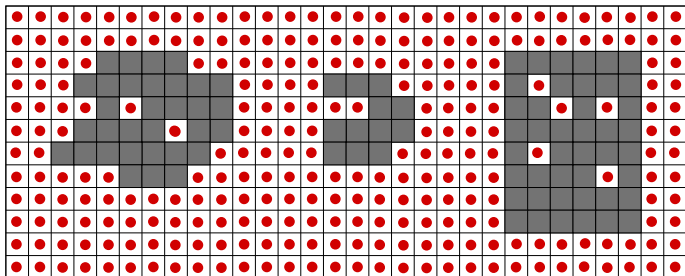
Solution to exercise 1 – structuring element B^c



A

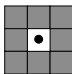


B^c

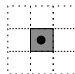


In red, positions x at which B_x^c fits in the background

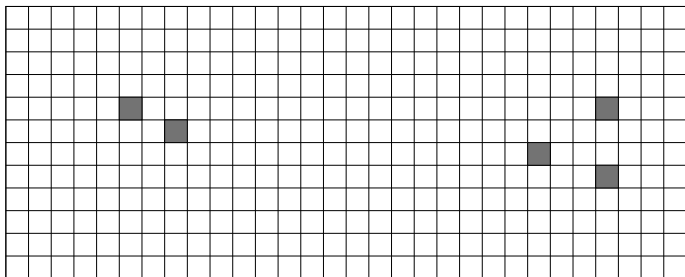
Solution to exercise 1 – Intersection



A



B^c

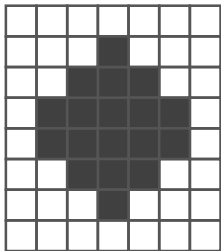


Result: the holes

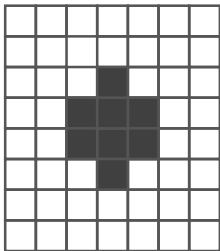
Many useful operators can be built by composing these and other simple operators

Example of an operator: Contour detection

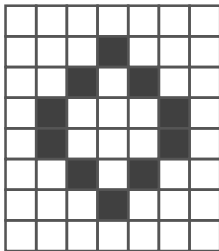
$$f - \varepsilon_B(f)$$



S



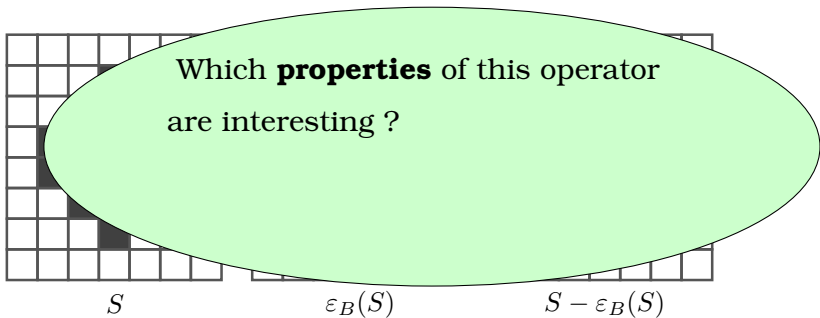
$\varepsilon_B(S)$



$S - \varepsilon_B(S)$

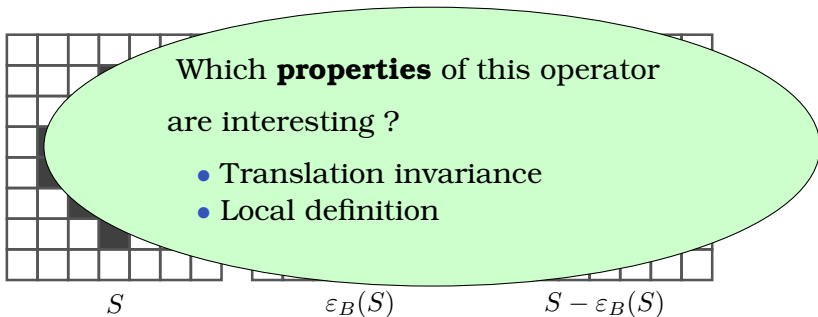
Example of an operator: Contour detection

$$f - \varepsilon_B(f)$$



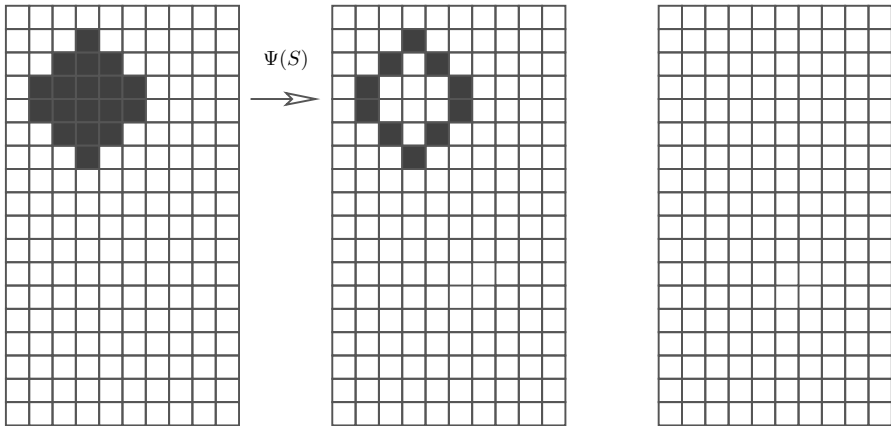
Example of an operator: Contour detection

$$f - \varepsilon_B(f)$$



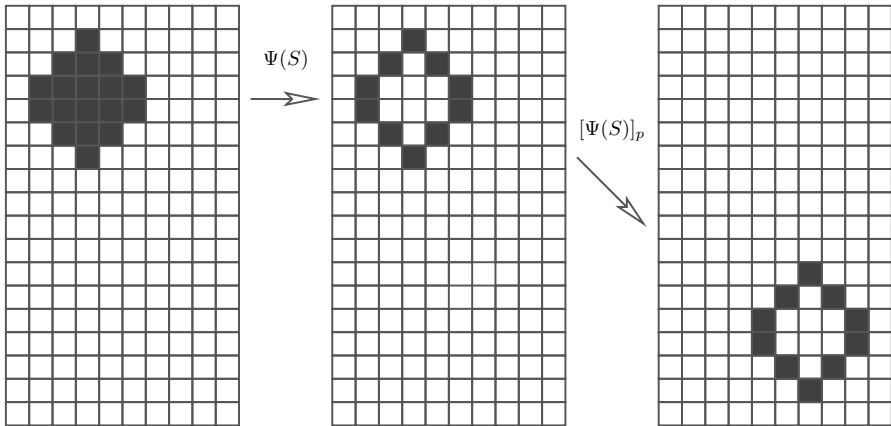
Translation invariance

$$[\Psi(f)]_p = \Psi(f_p)$$



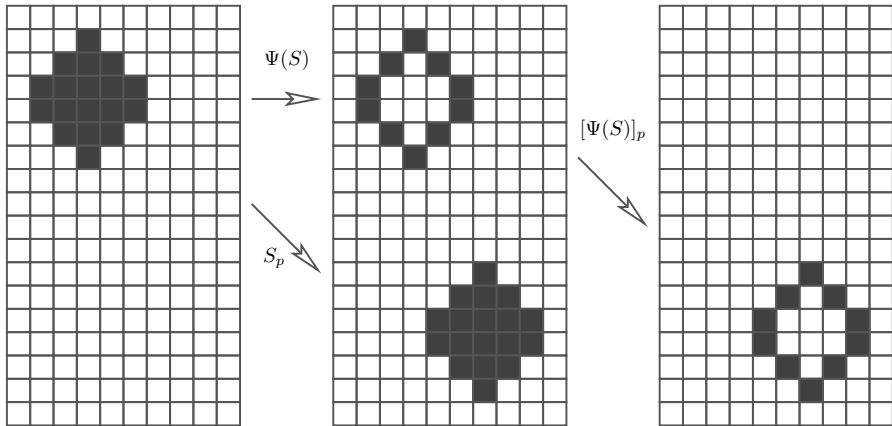
Translation invariance

$$[\Psi(f)]_p = \Psi(f_p)$$



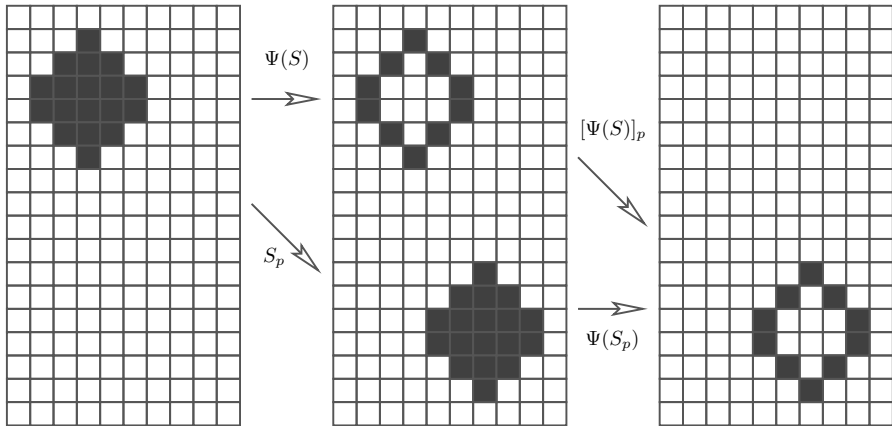
Translation invariance

$$[\Psi(f)]_p = \Psi(f_p)$$



Translation invariance

$$[\Psi(f)]_p = \Psi(f_p)$$

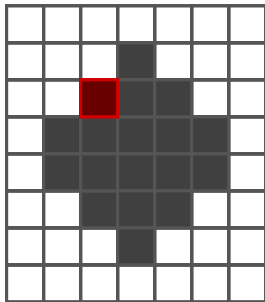


Local definition

Ψ is **locally defined** if there is a window W such that:

$$p \in \Psi(S) \iff p \in \Psi(S \cap W')$$

for every $p \in \mathbb{E}$, $S \in K^{\mathbb{E}}$, and $W' \supseteq W$



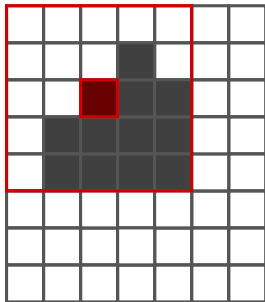
The red pixel is a contour point

Local definition

Ψ is **locally defined** if there is a window W such that:

$$p \in \Psi(S) \iff p \in \Psi(S \cap W')$$

for every $p \in \mathbb{E}$, $S \in K^{\mathbb{E}}$, and $W' \supseteq W$



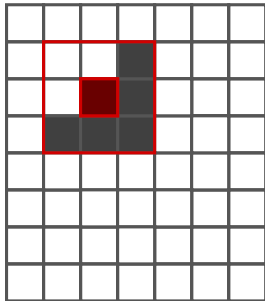
The red pixel is a contour point

Local definition

Ψ is **locally defined** if there is a window W such that:

$$p \in \Psi(S) \iff p \in \Psi(S \cap W')$$

for every $p \in \mathbb{E}$, $S \in K^{\mathbb{E}}$, and $W' \supseteq W$



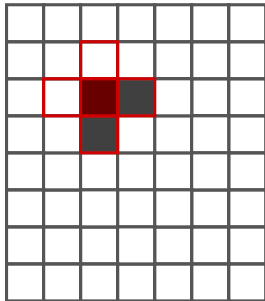
The red pixel is a contour point

Local definition

Ψ is **locally defined** if there is a window W such that:

$$p \in \Psi(S) \iff p \in \Psi(S \cap W')$$

for every $p \in \mathbb{E}$, $S \in K^{\mathbb{E}}$, and $W' \supseteq W$

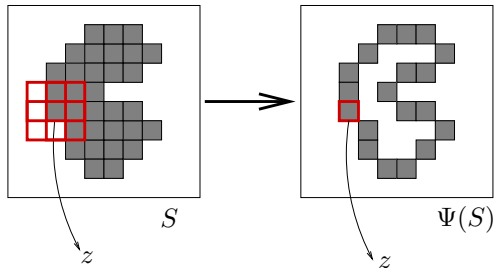


The red pixel is a contour point

Window operator or W -operator

W -operator: translation invariance + local definition

There is a **local function** ψ that uniquely characterizes Ψ



$$\Psi(S)(z) = \psi \left(\begin{array}{ccc} \square & \square & \square \\ \square & \square & \square \\ \square & \square & \square \end{array} \right)$$

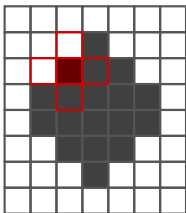
Back to contour detection

Contour detection operator: $S - \varepsilon_B(S)$

- translation-invariant
- locally defined

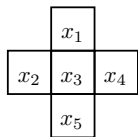
Local function:

*To decide if a **pixel is a(n internal) contour point** or not, it suffices to check if it is **in the foreground** and if there is **at least one pixel adjacent to it in the background**.*

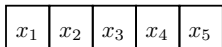


Considering 4-adjacency, a cross-window is sufficient

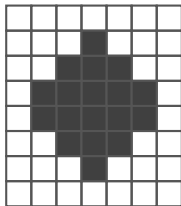
Local function of the contour detection operator



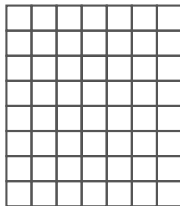
window



array



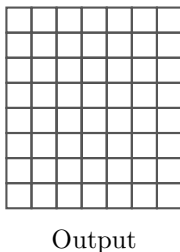
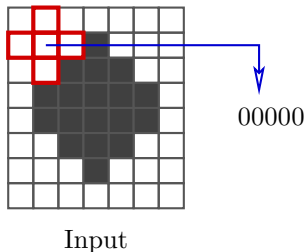
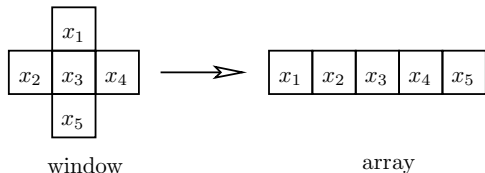
Input



Output

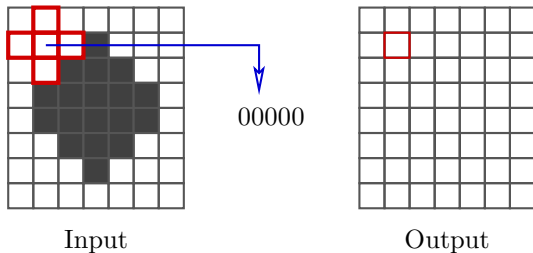
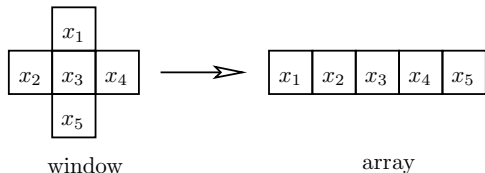
X	$\psi(X)$
00000	0
00001	0
00010	0
00011	0
00100	1
00101	1
00110	1
00111	1
...	...
01001	0
...	...
01101	1
...	...
11011	0
...	...
11110	1
11111	0

Local function of the contour detection operator



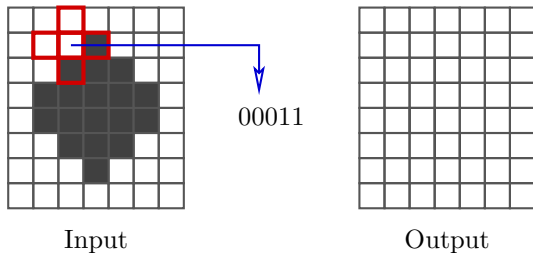
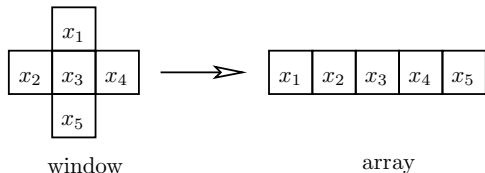
X	$\psi(X)$
00000	0
00001	0
00010	0
00011	0
00100	1
00101	1
00110	1
00111	1
...	...
01001	0
...	...
01101	1
...	...
11011	0
...	...
11110	1
11111	0

Local function of the contour detection operator



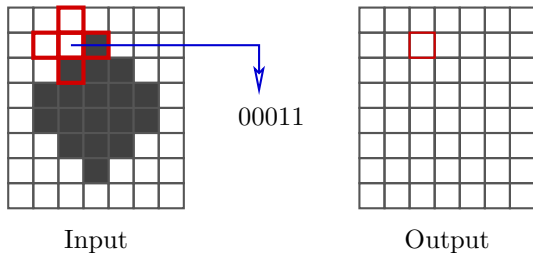
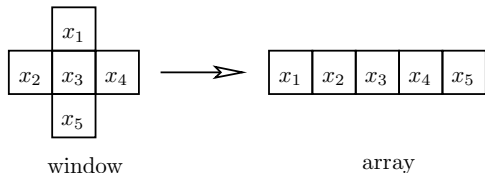
X	$\psi(X)$
00000	0
00001	0
00010	0
00011	0
00100	1
00101	1
00110	1
00111	1
...	...
01001	0
...	...
01101	1
...	...
11011	0
...	...
11110	1
11111	0

Local function of the contour detection operator



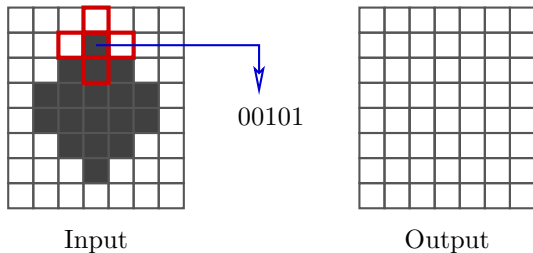
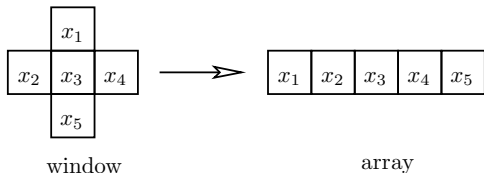
X	$\psi(X)$
00000	0
00001	0
00010	0
00011	0
00100	1
00101	1
00110	1
00111	1
...	...
01001	0
...	...
01101	1
...	...
11011	0
...	...
11110	1
11111	0

Local function of the contour detection operator



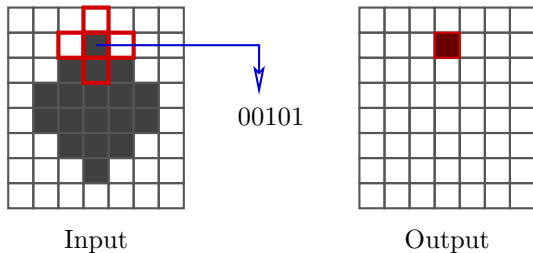
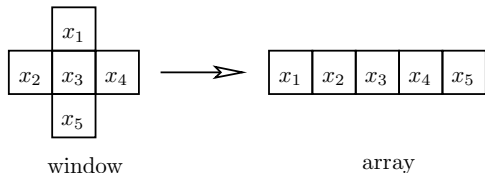
X	$\psi(X)$
00000	0
00001	0
00010	0
00011	0
00100	1
00101	1
00110	1
00111	1
...	...
01001	0
...	...
01101	1
...	...
11011	0
...	...
11110	1
11111	0

Local function of the contour detection operator



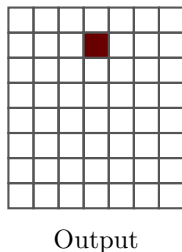
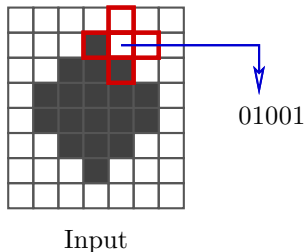
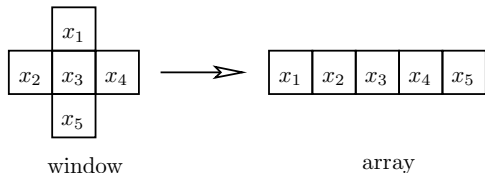
X	$\psi(X)$
00000	0
00001	0
00010	0
00011	0
00100	1
00101	1
00110	1
00111	1
...	...
01001	0
...	...
01101	1
...	...
11011	0
...	...
11110	1
11111	0

Local function of the contour detection operator



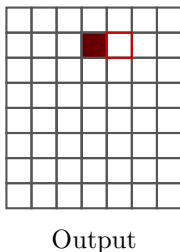
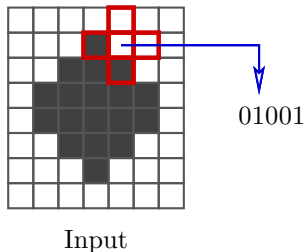
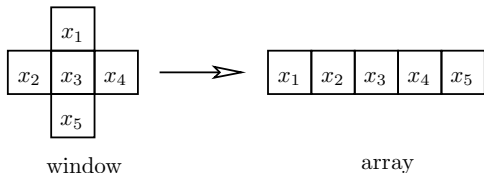
X	$\psi(X)$
00000	0
00001	0
00010	0
00011	0
00100	1
00101	1
00110	1
00111	1
...	...
01001	0
...	...
01101	1
...	...
11011	0
...	...
11110	1
11111	0

Local function of the contour detection operator



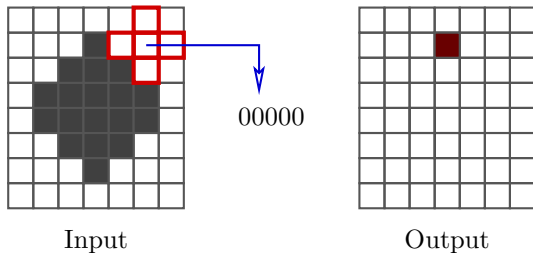
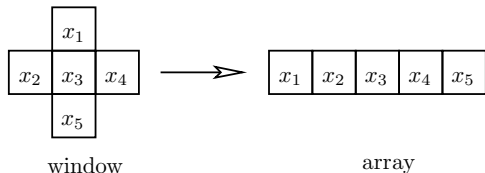
X	$\psi(X)$
00000	0
00001	0
00010	0
00011	0
00100	1
00101	1
00110	1
00111	1
...	...
01001	0
...	...
01101	1
...	...
11011	0
...	...
11110	1
11111	0

Local function of the contour detection operator



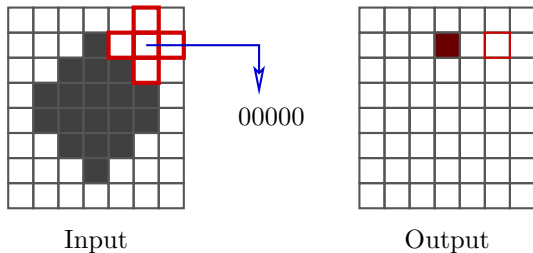
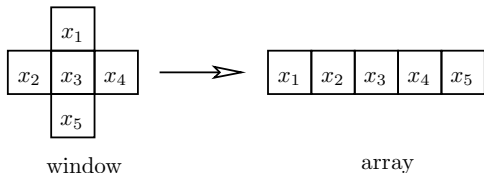
X	$\psi(X)$
00000	0
00001	0
00010	0
00011	0
00100	1
00101	1
00110	1
00111	1
...	...
01001	0
...	...
01101	1
...	...
11011	0
...	...
11110	1
11111	0

Local function of the contour detection operator



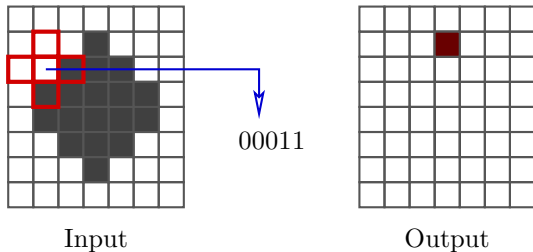
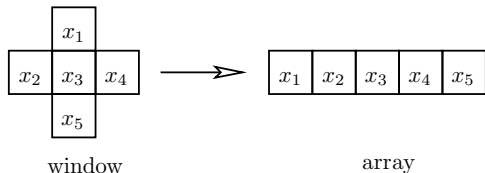
X	$\psi(X)$
00000	0
00001	0
00010	0
00011	0
00100	1
00101	1
00110	1
00111	1
...	...
01001	0
...	...
01101	1
...	...
11011	0
...	...
11110	1
11111	0

Local function of the contour detection operator



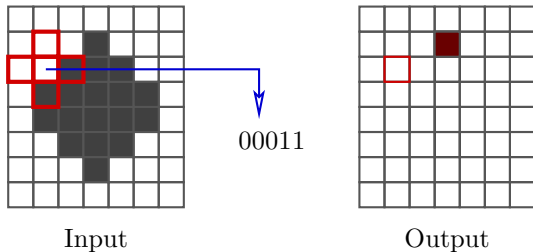
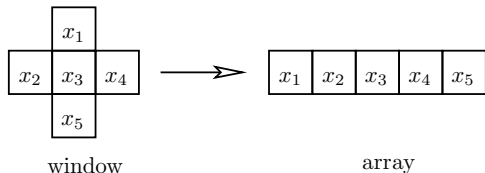
X	$\psi(X)$
00000	0
00001	0
00010	0
00011	0
00100	1
00101	1
00110	1
00111	1
...	...
01001	0
...	...
01101	1
...	...
11011	0
...	...
11110	1
11111	0

Local function of the contour detection operator



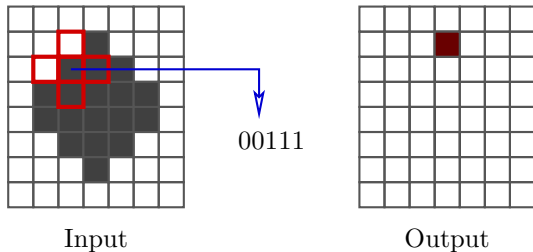
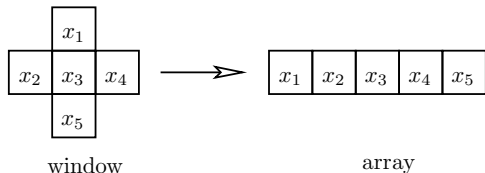
X	$\psi(X)$
00000	0
00001	0
00010	0
00011	0
00100	1
00101	1
00110	1
00111	1
...	...
01001	0
...	...
01101	1
...	...
11011	0
...	...
11110	1
11111	0

Local function of the contour detection operator



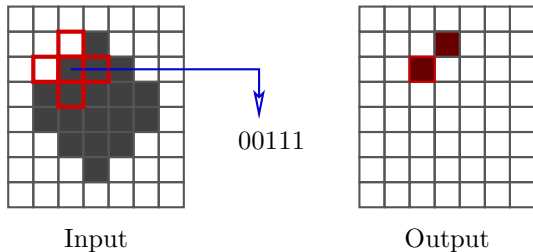
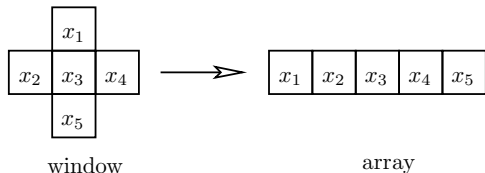
X	$\psi(X)$
00000	0
00001	0
00010	0
00011	0
00100	1
00101	1
00110	1
00111	1
...	...
01001	0
...	...
01101	1
...	...
11011	0
...	...
11110	1
11111	0

Local function of the contour detection operator



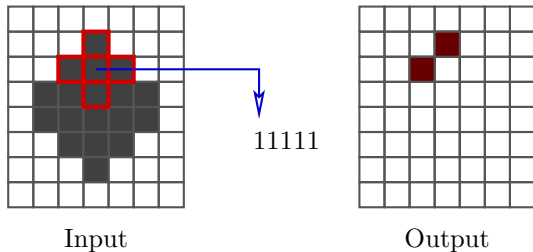
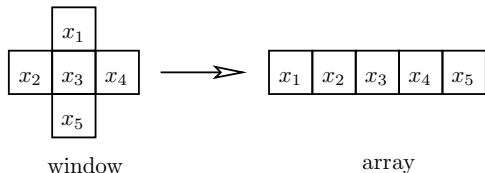
X	$\psi(X)$
00000	0
00001	0
00010	0
00011	0
00100	1
00101	1
00110	1
00111	1
...	...
01001	0
...	...
01101	1
...	...
11011	0
...	...
11110	1
11111	0

Local function of the contour detection operator



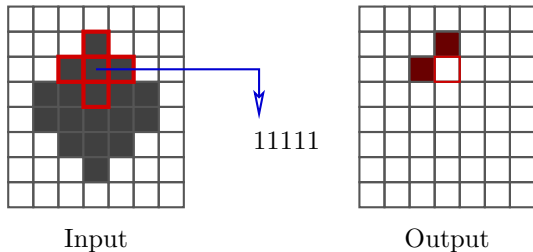
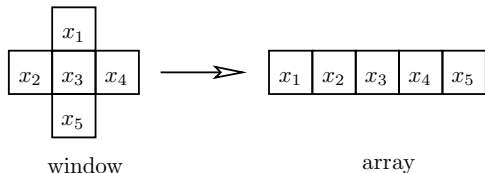
X	$\psi(X)$
00000	0
00001	0
00010	0
00011	0
00100	1
00101	1
00110	1
00111	1
...	...
01001	0
...	...
01101	1
...	...
11011	0
...	...
11110	1
11111	0

Local function of the contour detection operator



X	$\psi(X)$
00000	0
00001	0
00010	0
00011	0
00100	1
00101	1
00110	1
00111	1
...	...
01001	0
...	...
01101	1
...	...
11011	0
...	...
11110	1
11111	0

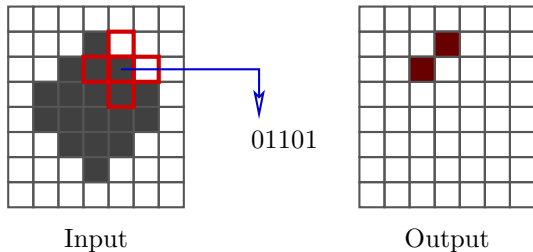
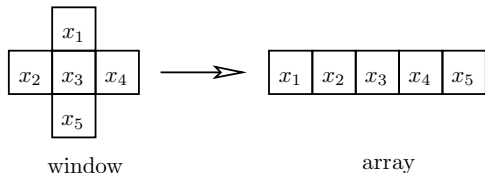
Local function of the contour detection operator



11111

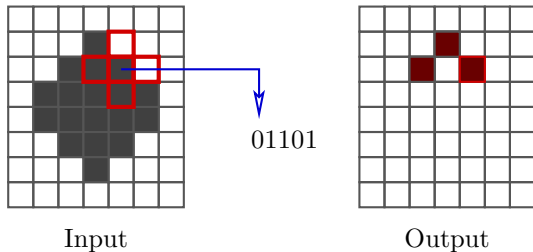
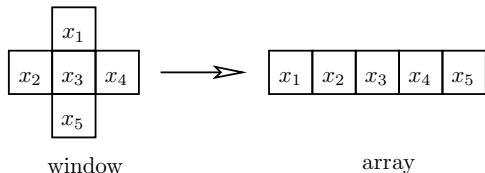
X	$\psi(X)$
00000	0
00001	0
00010	0
00011	0
00100	1
00101	1
00110	1
00111	1
...	...
01001	0
...	...
01101	1
...	...
11011	0
...	...
11110	1
11111	0

Local function of the contour detection operator



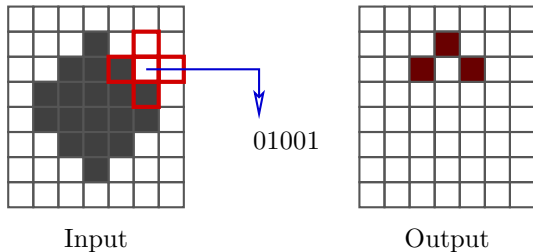
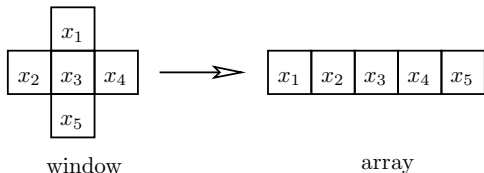
X	$\psi(X)$
00000	0
00001	0
00010	0
00011	0
00100	1
00101	1
00110	1
00111	1
...	...
01001	0
...	...
01101	1
...	...
11011	0
...	...
11110	1
11111	0

Local function of the contour detection operator



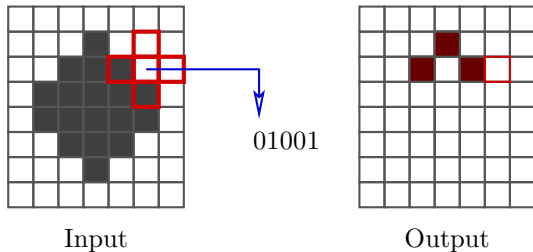
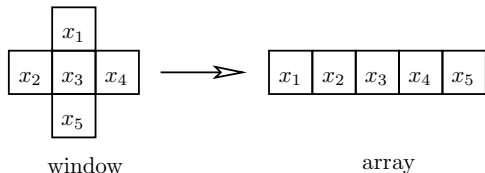
X	$\psi(X)$
00000	0
00001	0
00010	0
00011	0
00100	1
00101	1
00110	1
00111	1
...	...
01001	0
...	...
01101	1
...	...
11011	0
...	...
11110	1
11111	0

Local function of the contour detection operator



X	$\psi(X)$
00000	0
00001	0
00010	0
00011	0
00100	1
00101	1
00110	1
00111	1
...	...
01001	0
...	...
01101	1
...	...
11011	0
...	...
11110	1
11111	0

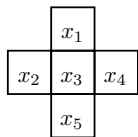
Local function of the contour detection operator



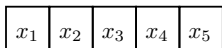
and so on

X	$\psi(X)$
00000	0
00001	0
00010	0
00011	0
00100	1
00101	1
00110	1
00111	1
...	...
01001	0
...	...
01101	1
...	...
11011	0
...	...
11110	1
11111	0

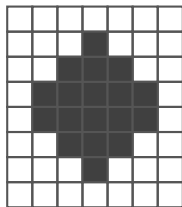
Local function of the contour detection operator



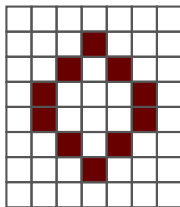
window



array



Input



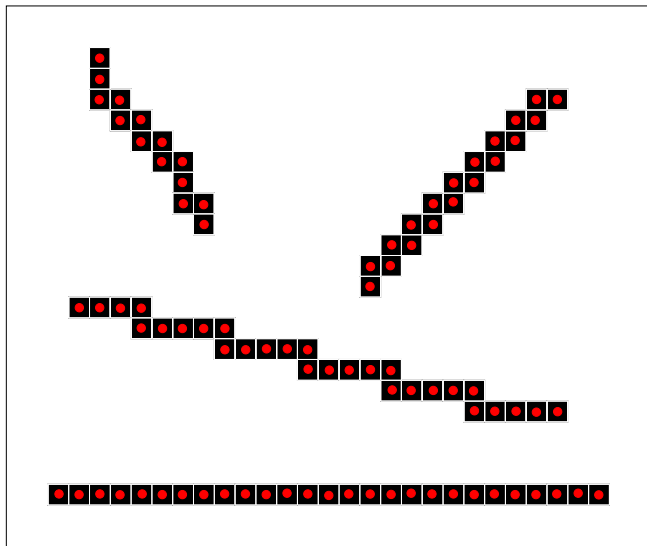
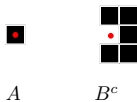
Output

X	$\psi(X)$
00000	0
00001	0
00010	0
00011	0
00100	1
00101	1
00110	1
00111	1
...	...
01001	0
...	...
01101	1
...	...
11011	0
...	...
11110	1
11111	0

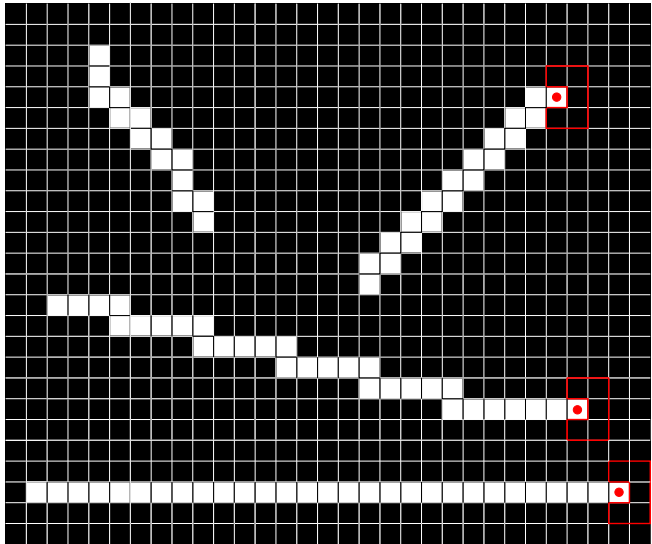
Short break for another exercise

Exercise 2

Solution to exercise 2 – structuring element A



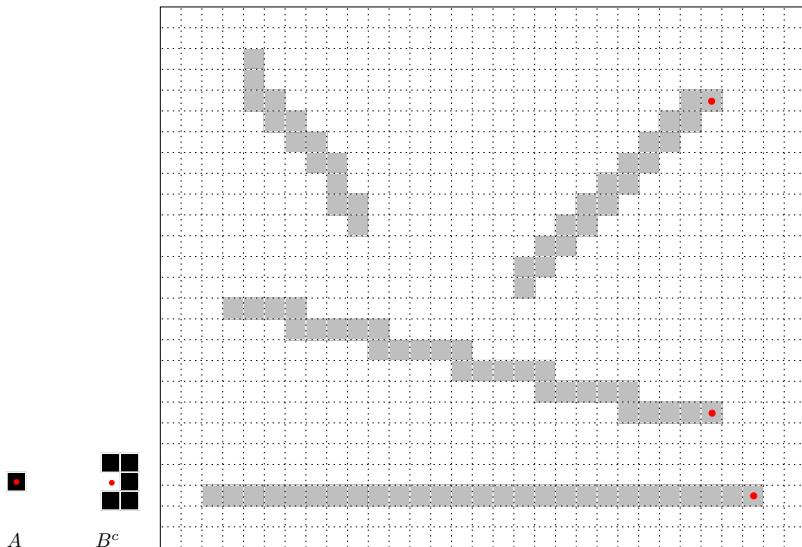
Solution to exercise 2 – structuring element B^c



A

B^c

Solution to exercise 2 – Intersection



Representation of an operator

How to represent an image operator ?

If Ψ is a W -operator it suffices to know $\psi : \{0, 1\}^W \rightarrow \{0, 1\}$.

Kernel of Ψ

$$\mathcal{K}(\Psi) = \{X \subseteq W : \psi(X) = 1\}$$

- What is the importance of the kernel ?
- Do we need to explicitly represent the kernel ?

Representation of an operator

How to represent an image operator ?

If Ψ is a W -operator it suffices to know $\psi : \{0, 1\}^W \rightarrow \{0, 1\}$.

Kernel of Ψ

$\mathcal{K}(\Psi)$

Kernels are related to a **canonical representation** of W -operators

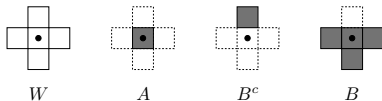
- What is the importance of the kernel ?
- Do we need to explicitly represent the kernel ?

Representation of operators

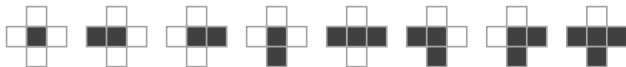
Hit-miss is an important piece in the **representation of W -operators**

A hit-miss operator is equivalent to an interval

X is detected by hit-miss operator $H_{(A,B^c)} \iff X \in [A, B]$



The window images detected by $H_{(A,B^c)}$ or in $[A, B]$ are the same:



(all templates that correspond top contour points)

Decomposition theorem

Example: intervals for the contour detection operator

$$\left\{ \left[\begin{array}{c} \square \\ \square \\ \blacksquare \\ \square \\ \square \end{array}, \begin{array}{c} \blacksquare \\ \blacksquare \\ \square \\ \blacksquare \\ \blacksquare \end{array} \right], \left[\begin{array}{c} \square \\ \square \\ \blacksquare \\ \square \\ \square \end{array}, \begin{array}{c} \square \\ \square \\ \blacksquare \\ \square \\ \square \end{array} \right], \left[\begin{array}{c} \square \\ \square \\ \blacksquare \\ \square \\ \square \end{array}, \begin{array}{c} \square \\ \square \\ \blacksquare \\ \square \\ \square \end{array} \right], \left[\begin{array}{c} \square \\ \square \\ \blacksquare \\ \square \\ \square \end{array}, \begin{array}{c} \square \\ \square \\ \blacksquare \\ \square \\ \square \end{array} \right] \right\}$$

Interval operator:

$$\wedge_{(A,B)}(X) = 1 \iff X \in [A, B]$$

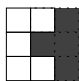
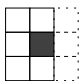
Basis of Ψ : $\mathcal{B}(\Psi) = \text{maximal intervals in } \mathcal{K}(\Psi)$

Minimal decomposition theorem

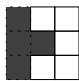
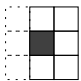
$$\psi(X) = \max_{[A,B] \in \mathcal{B}(\Psi)} \wedge_{(A,B)}(X)$$

What would be the basis for the extreme point case ?

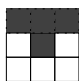
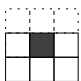
What would be the basis for the extreme point case ?



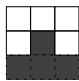
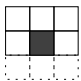
left endpoint



right endpoint



bottom endpoint



top endpoint

Summary of the fundamentals

You acquired knowledge on

- image operators
- W -operators, a broad class of image operators
- characterization by local functions
- basis representation: supremum of interval operators
- geometrical interpretation

We should also mention:

- binary case: equivalent to Boolean functions
- Similar results hold for gray-scale image operators

Learning image operators

Goal of image operator learning

Given observed images f and respective expected transformation g , we would like to find Ψ such that $\Psi(f)$ is a good approximation of g

MAE (*mean absolute error*)

$$MAE\langle\Psi\rangle = E[|[\Psi(f)](p) - g(p)|]$$

Empirical MAE

$$Err = \frac{1}{|\mathbb{E}|} \sum_{p \in \mathbb{E}} |[\Psi(f)](p) - g(p)|$$

Average of pixel-wise absolute difference

Binary images: pixel error rate

Optimal W -operators

Window: W

Input-output pairs of images: (f, g)

Observations: (X, y)

X is a window image

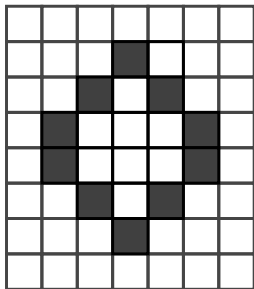
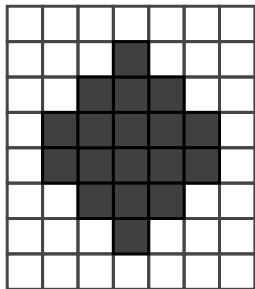
y is the corresponding output value

Optimal operator: (in the case of binary operators)

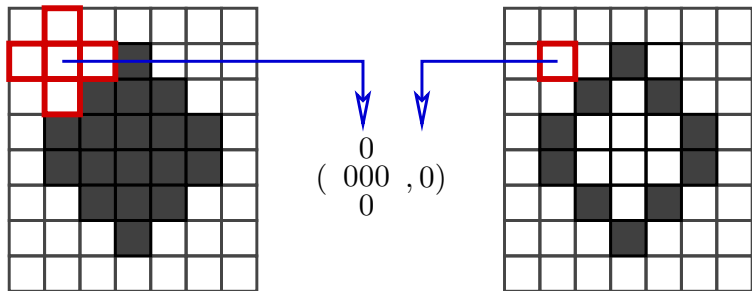
$$\psi(X) = \begin{cases} 1, & \text{if } P(1|X) > P(0|X), \\ 0, & \text{if } P(0|X) > P(1|X), \\ 0 \text{ or } 1 & \text{if } P(0|X) = P(1|X) = 0.5 \end{cases}$$

Probabilities $P(y|X)$ can be estimated from training images

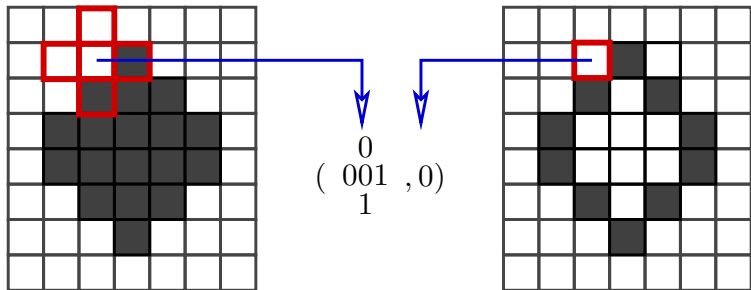
Counting occurrences of (X, y)



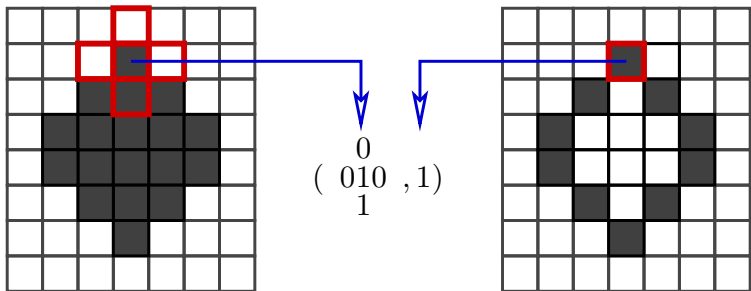
Counting occurrences of (X, y)



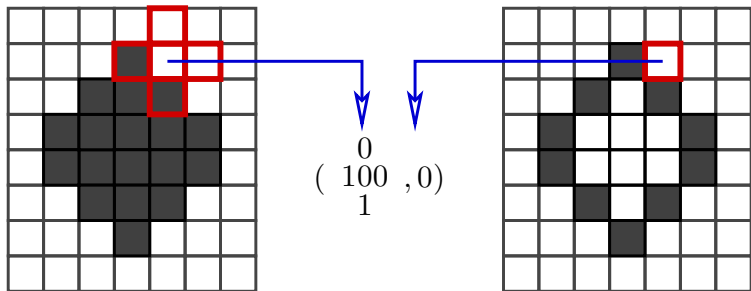
Counting occurrences of (X, y)



Counting occurrences of (X, y)



Counting occurrences of (X, y)



Example

X	□	■	$\psi(X)$
	27	0	0
	9	0	0
	3	3	0/1
	0	7	1
	7	1	0
	0	3	1
	0	8	1
	0	11	1

Optimal decision

$$\psi(X) = \begin{cases} 0, & \text{if } p(0|X) > p(1|X), \\ 1, & \text{if } p(0|X) < p(1|X), \\ \times, & \text{if } p(0|X) = p(1|X). \end{cases}$$

Short break for a new exercise

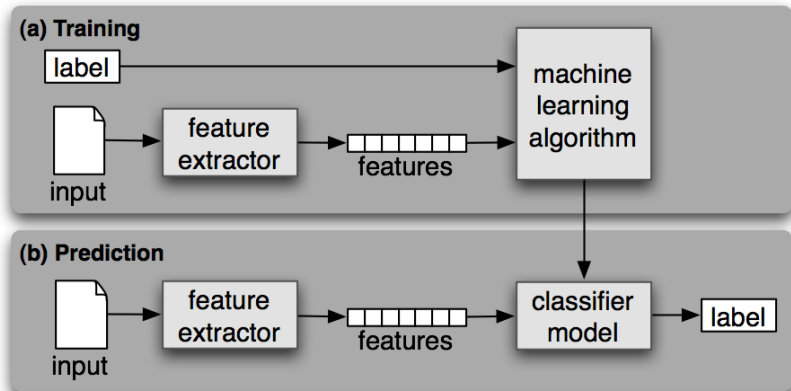
Exercise 3

Solution to exercise 3

X	0	1
	2	8
	10	2
	0	44
	2	12
	11	2
	36	0
	2	10
	9	0

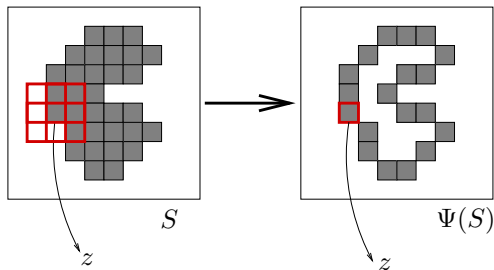
Image operator design **in the framework of** **Machine Learning**

Machine learning – Supervised classification



<http://www.nltk.org/book/ch06.html>

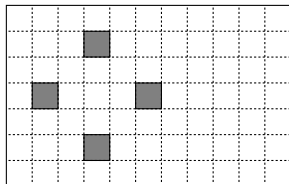
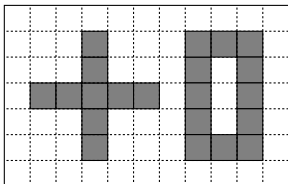
Learning the local function



$$\Psi(S)(z) = \psi \left(\begin{array}{ccc} \square & \square & \square \\ \square & \square & \square \\ \square & \square & \square \end{array} \right)$$

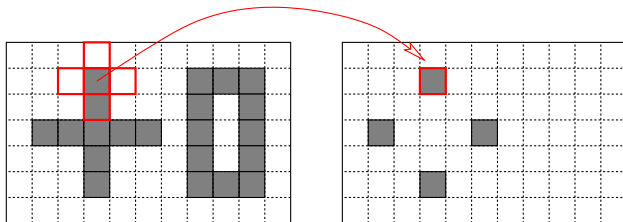
The local function can be understood as a classifier

Training samples



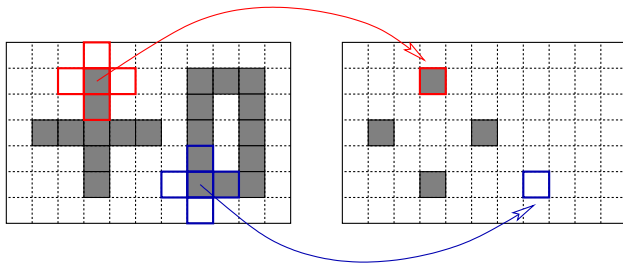
Training samples

Positive example



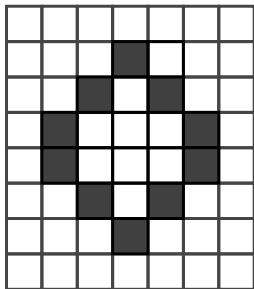
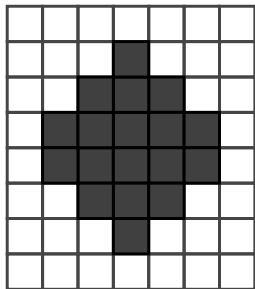
Training samples

Positive example

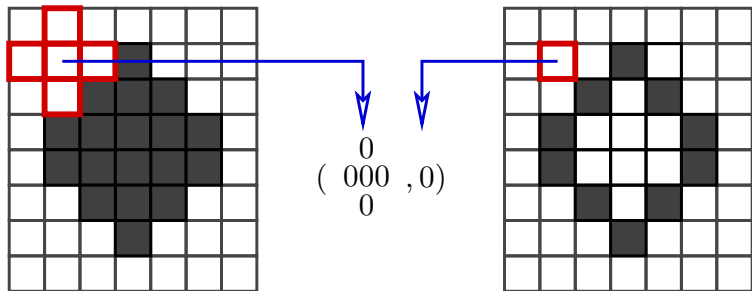


Negative example

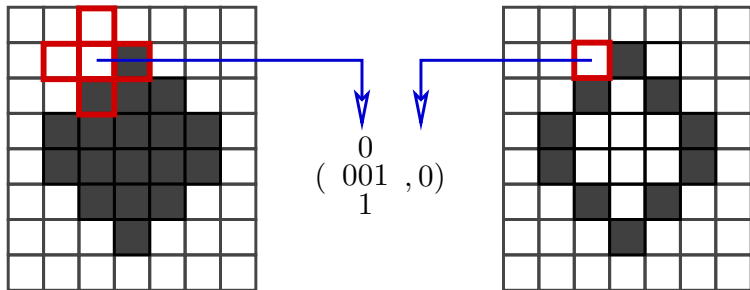
Feature extraction (to form the training set)



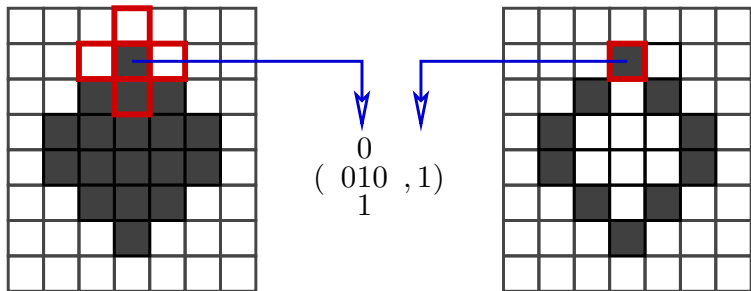
Feature extraction (to form the training set)



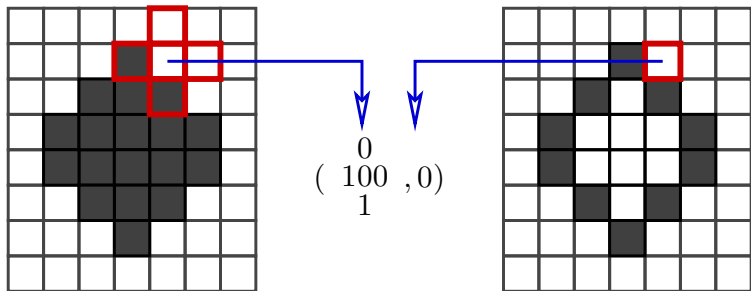
Feature extraction (to form the training set)



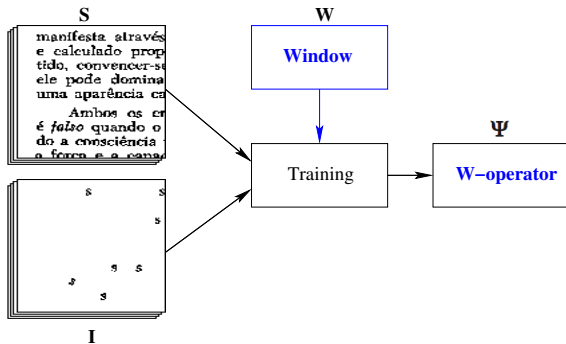
Feature extraction (to form the training set)



Feature extraction (to form the training set)



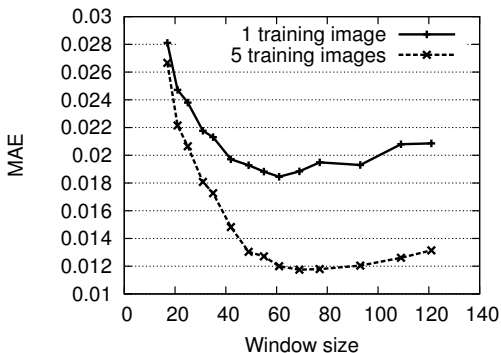
Overview



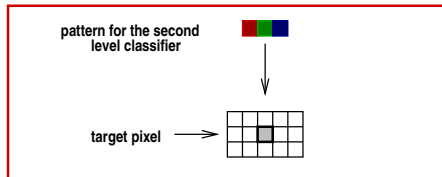
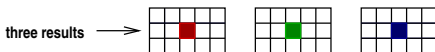
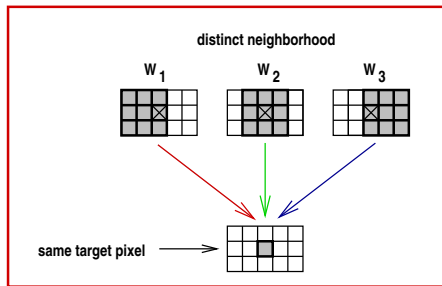
- W defines the **feature space**
- **Training data** is extracted from input-output images

The problem is not solved yet ...

Challenge: tradeoff between **window size** and **generalization error**

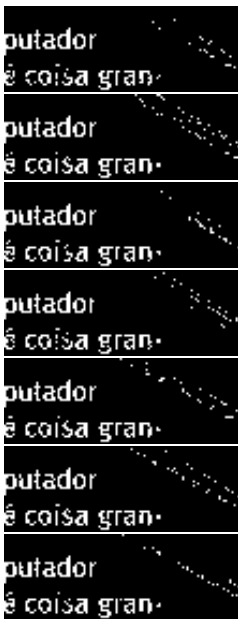


Two-level training





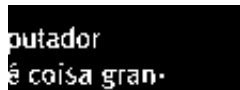
Input



Results of 7
operators



Superimposed
results
(darker = less votes)



Combination
result
(better than the
individual ones)



studio cybORga

présente :

Je me présente :
Akira Dokk, votre
Lieutenant
assassin.

Lieutenant
assassin ? ...
Et ça sert à
quoi ?



studio cybORga

présente :

Je me présente :
Akira Dokk, votre
Lieutenant
assassin.

Lieutenant
assassin ? ...
Et ça sert à
quoi ?

studio cybORga

présente :

Je me présente
Akira Dokk, votre
Lieutenant
assassin.

Lieutenant
assassin ? ...
Et ça sert à
quoi ?

studio cybORga

présente :

Je me présente
Akira Dokk, votre
Lieutenant
assassin.

Lieutenant
assassin ? ...
Et ça sert à
quoi ?

studio cybORga

présente :

Je me présente
Akira Dokk, votre
Lieutenant
assassin.

Lieutenant
assassin ? ...
Et ça sert à
quoi ?

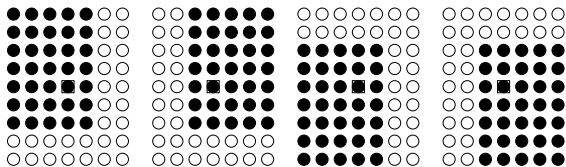
studio cybORga

présente :

Je me présente
Akira Dokk, votre
Lieutenant
assassin.

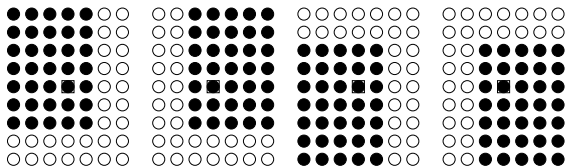
Lieutenant
assassin ? ...
Et ça sert à
quoi ?

Why two-level training scheme is good?



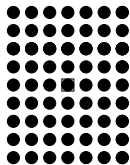
Windows in the first level training

Why two-level training scheme is good?



Windows in the first level training

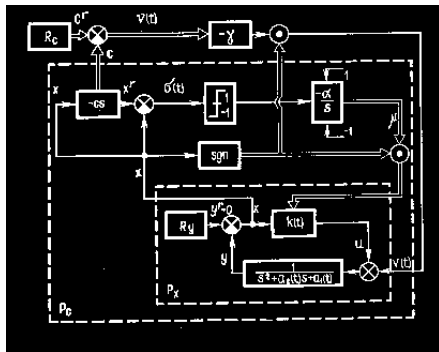
Their union is a larger window



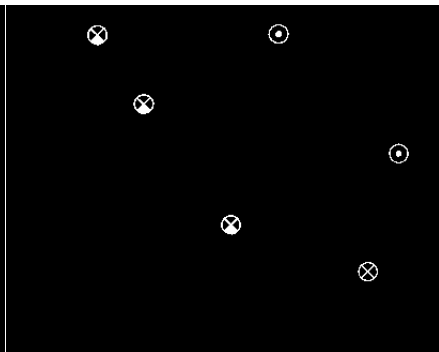
Two-level training (indirectly) considers a larger neighborhood, without increasing window size.

Application examples

Application examples

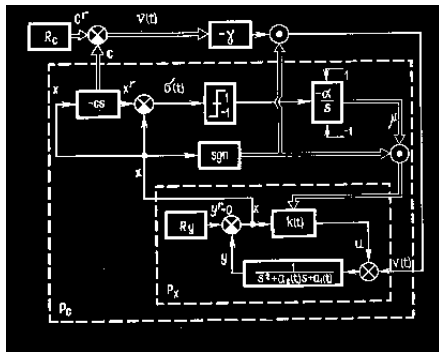


Input

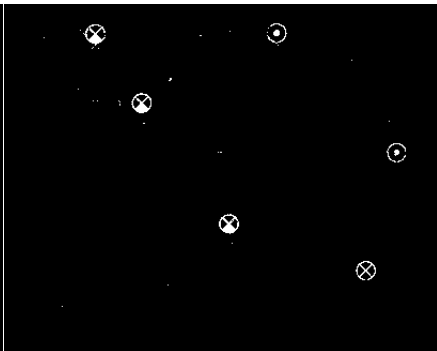


Expected output

Application examples

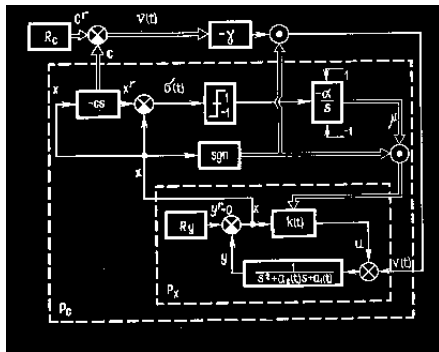


Input

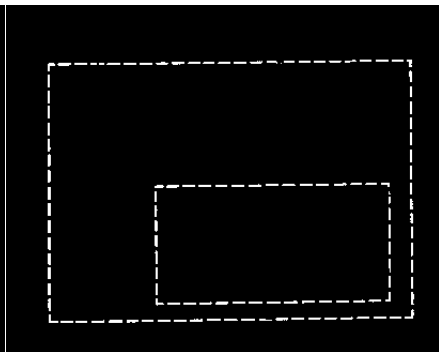


Test output

Application examples

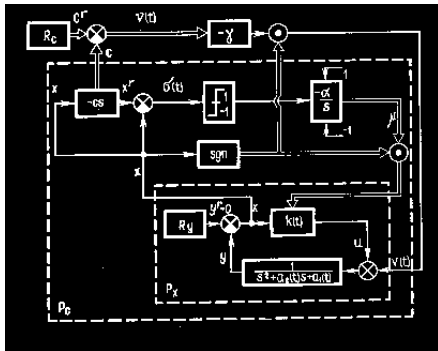


Input

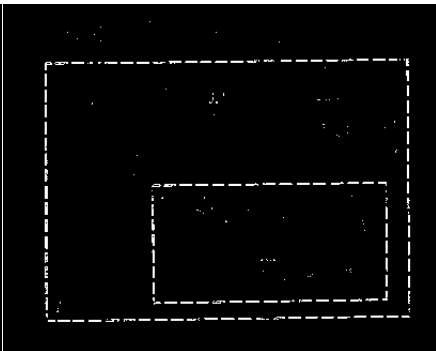


Expected output

Application examples

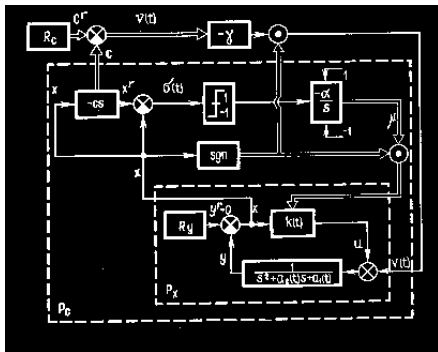


Input

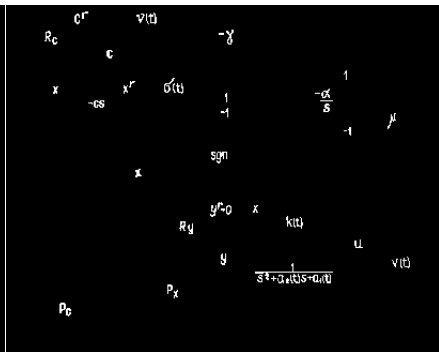


Test output

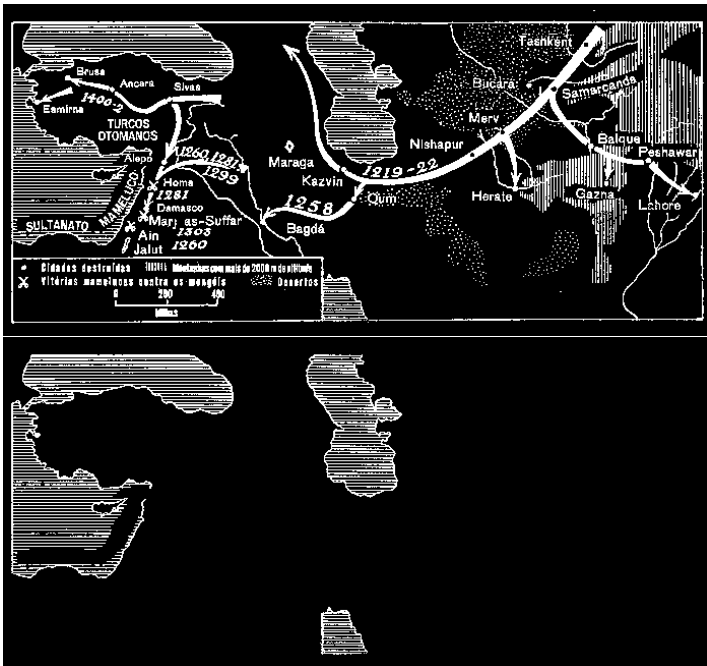
Application examples

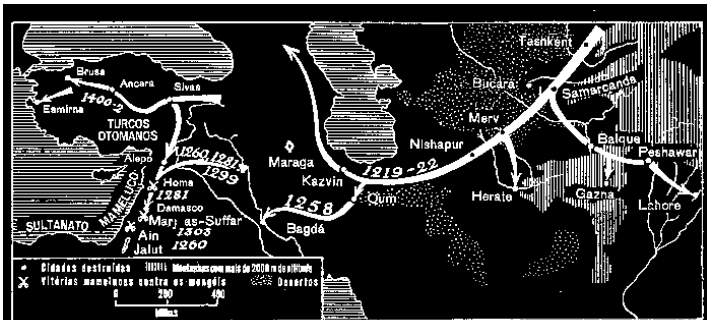


Input



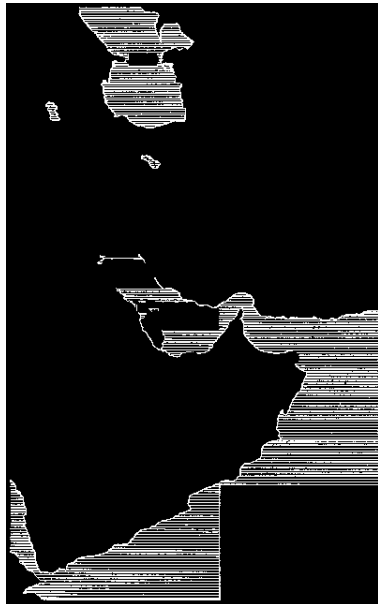
Expected output







Input



Expected output

Por que você não planeja comprar um computador?

Não tenho dinheiro	64%
Não sei usar	24%
Não quero	14%
Não tenho espaço	1%
Não sei onde comprar	1%

Em 1995 o computador chegou às prateleiras dos supermercados no Brasil. De era do micro proibido para a sua popularização foi um passo

Input

Ansiedade

ficou confinado aos feudos das lojas especializadas. Depois pulou para lojas de eletrodomésticos ganhou espaço nos grandes magazines. Agora conquistou o espaço sobre da popularização: apareceu em prateleiras de supermercado. Em breve, em se tratando de Brasil, deve aparecer computador em barraca de camelô.

Moleçagens — É hora do almoço num supermercado Carrefour da Zona Sul de São Paulo, conhecida como o "barrido do patifeiro". Muita gente, pouco tempo, o maior índice de pequenos lurtos. Desde que a rede inaugurou o setor de informática, em 15 de agosto, é festa. Gravatas, tailleurs, office-boys e carrinhos de feira cheios estacionam na frente das máquinas em exposição. Em meio a melancias, biscoitos, refrigerantes, ninguém tem medo de se aproximar do bicho. Em supermercado, ninguém precisa pretender ser especialista. Uma senhora olha intrigada para uma mensagem em letras verdes. Sobre fundo azul que telma em piscar no monitor de um micro Qued 100 (cinquenta unidades vendidas em uma semana): "Carrefour, tudo o que você não quer?" A mensagem foi gravada clandestinamente, como senha, por alguns malitos microitos que sempre rondam o setor.

— Essa sou, Hirata da tela, até se esforça para romper a barreira. "Você explicar: 1 byte tem 8 bits. Um caractere é o mesmo que 1 byte. Meça é sor. Portanto uma memória de 8 megas é mais do que suficiente". Dez à sexta? Suficiente para quê? Como dino o senhor da Paraíba: "Está certo, está certo".

Para o ornamento e a cabeça do comprador, sobretudo aquele que ainda não usa a máquina no trabalho, a aquisição de um com-

putador é coisa grande. Deveria ser sensorial como a de um carro, que a gente namora, testa, compra, muda a escolha da cor e opcionais vinte vezes antes de fechar o negócio. Na compra de um micro não tem nada disso — no melhor das hipóteses pode-se mexer no teclado em exposição e se encantar com as telas coloridas no monitor. Ao contrário de um carro, que ninguém vai comprar sem saber dirigir, ou de uma geladeira, que a ninguém interessa saber como funciona pois não sabe petar sorrita, o micro será o que o seu dono ler dele. Mas isso ele só descobrirá aos poucos, em noites mal dormidas (veja reportagem no próximo capítulo).

Foi em 1995 que a barreira física entre a máquina e o comprador brasileiro começou a se romper espetacularmente. A opção da televisão — rãpsa e prática para quem sabe exatamente o que quer — surgiram pontos-de-venda em carne e osso para o micro. Inicialmente ele ainda

é que a máquina funciona, e isso eu garanto. Não que ela seja bonita. Um micro é sempre um micro. Tudo igual. Para conhecê-lo é só olhar o jornal". Uma televisão da Philips (grandes anúncios, pequenas instalações) até se esforça para romper a barreira. "Você explicar: 1 byte tem 8 bits. Um caractere é o mesmo que 1 byte. Meça é sor. Portanto uma memória de 8 megas é mais do que suficiente". Dez à sexta? Suficiente para quê? Como dino o senhor da Paraíba: "Está certo, está certo".

Para o ornamento e a cabeça do comprador, sobretudo aquele que ainda não usa a máquina no trabalho, a aquisição de um com-

Em 1995 o computador chegou às prateleiras dos supermercados no Brasil. De era do micro proibido para a sua popularização foi um passo

Expected output

Análise de

Por que você não planeja comprar um computador?

É caro	64%
Não é necessário	14%
Tem medo de não saber usar	12%
Não há necessidade	7%
Não tenho dinheiro	3%

Fonte: Ibope/Intermark/Abdala

ficou confinado aos feudos das lojas especializadas. Depois pulou para lojas de eletrodomésticos ganhou espaço nos grandes magazines. Agora conquistou o espaço sobre a popularização: apareceu em praças de supermercado. Em breve, em se tratando de Brasil, deve aparecer computador em barraca de camelô.

Melocagens — É hora do almoço num supermercado Carrefour da Zona Sul de São Paulo, conhecida como o "barrido do patifeiro". Muita gente, pouco tempo, o maior índice de pequenos lurtos. Desde que a rede inaugurou o setor de informática, em 15 de agosto, é festa. Gravatas, tailleurs, offic-boys e carrinhos de feira cheios estacionam na frente das máquinas em exposição. Em meio a melancias, biscoitos, refrigerantes, ninguém tem medo de se aproximar do bicho. Em supermercado, ninguém precisa pretender ser especialista. Uma senhora olha intrigada para uma mensagem em letras verdes. Sobre fundo azul que telma em piscar no monitor de um micro Quedis 100 (cinquenta unidades vendidas em uma semana). "Carrefour, tudo o que você não quer?" A mensagem foi gravada clandestinamente, como senha, por alguns muitos microiros que sempre rondam o setor.

— Essa you, lurtu de lita, — resmungo um dos vendedores, já treinado em apagar as melocagens.

Ele pega o mouse. Sacode a peça, e não. Descobre que tucubaram a bolinha do mouse que faz funcionar o raiinho. Paga o computador viziinho, mas também esse lurtu e a bolinha surrupada. É o Brasil entrando na era da informática.

Input

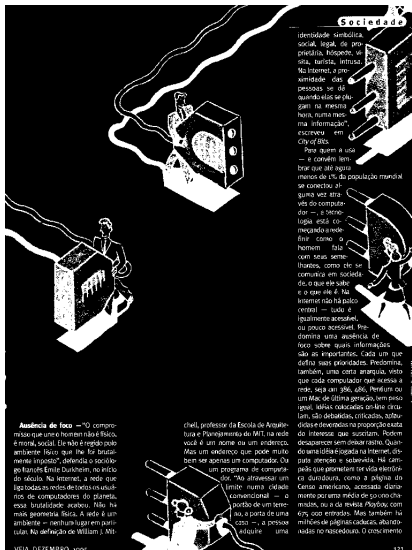
ficou confinado aos feudos das lojas especializadas. Depois pulou para lojas de eletrodomésticos ganhou espaço nos grandes magazines. Agora conquistou o espaço sobre a popularização: apareceu em praças de supermercado. Em breve, em se tratando de Brasil, deve aparecer computador em barraca de camelô.

Melocagens — É hora do almoço num supermercado Carrefour da Zona Sul de São Paulo, conhecida como o "barrido do patifeiro". Muita gente, pouco tempo, o maior índice de pequenos lurtos. Desde que a rede inaugurou o setor de informática, em 15 de agosto, é festa. Gravatas, tailleurs, offic-boys e carrinhos de feira cheios estacionam na frente das máquinas em exposição. Em meio a melancias, biscoitos, refrigerantes, ninguém tem medo de se aproximar do bicho. Em supermercado, ninguém precisa pretender ser especialista. Uma senhora olha intrigada para uma mensagem em letras verdes. Sobre fundo azul que telma em piscar no monitor de um micro Quedis 100 (cinquenta unidades vendidas em uma semana). "Carrefour, tudo o que você não quer?" A mensagem foi gravada clandestinamente, como senha, por alguns muitos microiros que sempre rondam o setor.

— Essa you, lurtu de lita, — resmungo um dos vendedores, já treinado em apagar as melocagens.

Ele pega o mouse. Sacode a peça, e não. Descobre que tucubaram a bolinha do mouse que faz funcionar o raiinho. Paga o computador viziinho, mas também esse lurtu e a bolinha surrupada. É o Brasil entrando na era da informática.

Test output



Sociedade

identidade simbólica, social, legal, de propriedade, hospedeira, visitada, taxista, intrusa. Na Internet, a proximidade das pessoas se dá quando elas se plugam na mesma rede, numa mesma informação”, escreveu em City of Bits.

Para quem a vida — e convém lembrar que até agora menos de 1% da população mundial se conectou alguma vez através do computador —, a tecnologia está começando a redefinir como o homem fala com seus semelhantes, como ele se comunica em sociedade, o que ele sabe e o que vê. Na Internet não há palco central — tudo é igualmente acessível, ou pouco acessível. Predomina uma ausência de foco sobre quais informações são as importantes. Cada um que define suas prioridades. Predomina, também, uma certa anarquia, visto que cada computador que se conecta a rede, seja um 386, 486, Pentium ou um Mac de última geração, tem peso igual. Há as rotinas on-line circulares, são debates, críticas, autoridões e deveridas na proporção exata do interesse que suscitam. Podem desaparecer sem deixar rasto. Quando uma lâmpada queada na Internet, dispensa atenção e sobrevivência. Há campanhas que promovem ter vida eletrônica duradoura, como a página do Centro Americano, acessada diretamente por uma mídia de 50 ouso chamadas, ou a de revista Playboy, com 675.000 entradas. Mas também há um ambiente — nenhum lugar em particular. Na definição de William J. Mitchell, professor da Escola de Arquitetura e Planejamento de MIT, na rede social é um nome ou um endereço. Mas um endereço que pode muito bem ser apenas um computador. Os

Ausência de foco — “O compromisso que um e homem não é físico, é moral, social. Ele não frequêdo pelo ambiente físico que lhe foi brutalmente imposto”, defende o sociólogo francês Emile Durkheim, no início do século. Na Internet, a rede que ligou todas as redes de todos os quadros de computadores do planeta, essa brutalidade acabou. Não há mais geometria física. A rede é um ambiente — nenhum lugar em particular. Na definição de William J. Mitchell,

professor da Escola de Arquitetura e Planejamento de MIT, na rede social é um nome ou um endereço. Mas um endereço que pode muito bem ser apenas um computador. Os

um programa de computador. “No ambiente um limite numo cidade convencional — o porto de um terminal, a porta de uma casa —, a pessoa adquire uma



identidade simbólica, social, legal, de propriedade, hospedeira, visitada, taxista, intrusa. Na Internet, a proximidade das pessoas se dá quando elas se plugam na mesma rede, numa mesma informação”, escreveu em City of Bits.

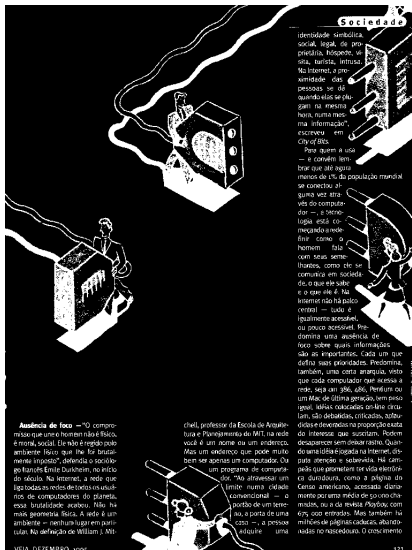
Para quem a vida — e convém lembrar que até agora menos de 1% da população mundial se conectou alguma vez através do computador —, a tecnologia está começando a redefinir como o homem fala com seus semelhantes, como ele se comunica em sociedade, o que ele sabe e o que vê. Na Internet não há palco central — tudo é igualmente acessível, ou pouco acessível. Predomina uma ausência de foco sobre quais informações são as importantes. Cada um que define suas prioridades. Predomina, também, uma certa anarquia, visto que cada computador que se conecta a rede, seja um 386, 486, Pentium ou um Mac de última geração, tem peso igual. Há as rotinas on-line circulares, são debates, críticas, autoridões e deveridas na proporção exata do interesse que suscitam. Podem desaparecer sem deixar rasto. Quando uma lâmpada queada na Internet, dispensa atenção e sobrevivência. Há campanhas que promovem ter vida eletrônica duradoura, como a página do Centro Americano, acessada diretamente por uma mídia de 50 ouso chamadas, ou a de revista Playboy, com 675.000 entradas. Mas também há um ambiente — nenhum lugar em particular. Na definição de William J. Mitchell,

professor da Escola de Arquitetura e Planejamento de MIT, na rede social é um nome ou um endereço. Mas um endereço que pode muito bem ser apenas um computador. Os

um programa de computador. “No ambiente um limite numo cidade convencional — o porto de um terminal, a porta de uma casa —, a pessoa adquire uma

Input

Expected output



Sociedade

identidade simbólica, social, legal, de propriedade, hóspede, visita, turista, intrusa. Na Internet, a proximidade das pessoas se dá quando elas se plugam na mesma rede, numa mesma informação", escreveu em City of Bits.

Para quem a vida — e convém lembrar que até agora menos de 1% da população mundial se conectou alguma vez através do computador —, a tecnologia está começando a redefinir como o homem fala, com suas semelhanças, como ele se comunica em sociedade, o que ele sabe e o que vê. Na Internet não há palco central — tudo é igualmente acessível, ou pouco acessível. Predomina uma ausência de foco sobre quais informações são as importantes. Cada um que define suas prioridades. Predomina, também, uma certa anarquia, visto que cada computador que se conecta a rede, seja em 386, 686, Pentium ou um Mac de última geração, tem esse papel. Há as discussões on-line, círculos, são debates, críticas, autorizadas e desautorizadas na proporção do interesse que suscitam. Podem desaparecer sem deixar rasto. Quando uma idéia é posta na Internet, disputa atenção e sobrevivência. Há campanhas que promovem ter vida eletrônica — duradoura, como a página do Genio Americano, acessada diariamente por uma média de 50 mil chamadas, ou a de revista Playboy, com 675.000 entradas. Mas também há sites — e páginas — caducos abandonados no esquecimento. O crescimento

Ausência de foco — "O compromisso que um e homem não é físico, é moral, social. Ele não é regido pelo ambiente físico que lhe foi brutalmente imposto", defende o sociólogo francês Emile Durkheim, no livro do século. Na Internet, a rede que ligou todas as redes de todos os computadores do planeta, essa brutalidade acabou. Não há mais geometria física. A rede é um ambiente — nenhum lugar em particular. Na definição de William J. Mitchell,

professor da Escola de Arquitetura e Planejamento do MIT, na rede não há um nome ou um endereço. Mas um endereço que pode mudar bem se apenas um computador. Ou um programa de computador. "No ambiente um limite num mundo convencional — o portão de um terreno, a porta de uma casa —, a pessoa adquire uma



identidade simbólica, social, legal, de propriedade, hóspede, visita, turista, intrusa. Na Internet, a proximidade das pessoas se dá quando elas se plugam na mesma rede, numa mesma informação", escreveu em City of Bits.

Para quem a vida — e convém lembrar que até agora menos de 1% da população mundial se conectou alguma vez através do computador —, a tecnologia está começando a redefinir como o homem fala, com suas semelhanças, como ele se comunica em sociedade, o que ele sabe e o que vê. Na Internet não há palco central — tudo é igualmente acessível, ou pouco acessível. Predomina uma ausência de foco sobre quais informações são as importantes. Cada um que define suas prioridades. Predomina, também, uma certa anarquia, visto que cada computador que se conecta a rede, seja em 386, 686, Pentium ou um Mac de última geração, tem esse papel. Há as discussões on-line, círculos, são debates, críticas, autorizadas e desautorizadas na proporção do interesse que suscitam. Podem desaparecer sem deixar rasto. Quando uma idéia é posta na Internet, disputa atenção e sobrevivência. Há campanhas que promovem ter vida eletrônica — duradoura, como a página do Genio Americano, acessada diariamente por uma média de 50 mil chamadas, ou a de revista Playboy, com 675.000 entradas. Mas também há sites — e páginas — caducos abandonados no esquecimento. O crescimento

— "Lugar do foco" — "O compromisso que um e homem não é físico, é moral, social. Ele não é regido pelo ambiente físico que lhe foi brutalmente imposto", defende o sociólogo francês Emile Durkheim, no livro do século. Na Internet, a rede que ligou todas as redes de todos os computadores do planeta, essa brutalidade acabou. Não há mais geometria física. A rede é um ambiente — nenhum lugar em particular. Na definição de William J. Mitchell,

professor da Escola de Arquitetura e Planejamento do MIT, na rede não há um nome ou um endereço. Mas um endereço que pode mudar bem se apenas um computador. Ou um programa de computador. "No ambiente um limite num mundo convencional — o portão de um terreno, a porta de uma casa —, a pessoa adquire uma

Input

Test output

an den Ausschlägen des kleinen Pendelchens, daß jetzt die andere Stimmgabel schwingt. Es ist Resonanz eingetreten. Offenbar hat die Luft die Schwingungen der einen Gabel auf die andere übertragen. Daß so etwas möglich ist, soll uns ein weiterer Versuch mit ganz langsamen Schwingungen zeigen:

 Ein 2 kg-Wägestück wird an einem etwa 2 m langen Faden aufgehängt. Dann blasen wir einmal kräftig dagegen. Der Erfolg ist eine kaum wahrnehmbare Pendelschwingung. Wir können sie aber leicht zu kräftigen Schwingungen aufschaukeln, wenn wir noch ein paar Mal gegen das Pendel blasen. Voraussetzung dafür ist, daß dies immer in der Eigenfrequenz der Pendelschwingung im richtigen Augenblick geschieht (Abb. 143.1).

Bei dem Versuch mit den beiden Resonanzstimmgabeln waren die kleinen Luftlöse, die die erste Gabel verursachte, imstande, die zweite zu kräftigen Schwingungen aufzuschaukeln. Beide Gabeln hatten die gleiche Eigenfrequenz, deshalb erfolgten die Luftlöse immer im richtigen Augenblick.

Ein weiterer Versuch zeigt, daß auch bei den Resonanzstimmgabeln die anregende und die angeorgte Frequenz gleich sein müssen, wenn Resonanz eintreten soll:

 Wir erniedrigen die Frequenz einer der Gabeln durch ein kleines Zusatzkörperchen, das wir an ihre Zinken klemmen. Wiederholen wir jetzt den Versuch 14, so finden wir keine Resonanz mehr.

Erfährt ein schwingungsfähiger Körper aufeinanderfolgend kleine Stöße in seiner Eigenfrequenz, so wird er zu kräftigen Schwingungen ange-regt: es tritt Resonanz ein.

Eine praktische Anwendung findet die Resonanz beim Bau von Frequenzmessern. Solche Geräte besitzen viele Stahrlängen verschiedener Länge. Die zu messende Frequenz regt die Zunge zum Schwingen an, deren Eigenfrequenz mit ihr übereinstimmt (s. Abb. 143.2).

Manche Teile einer Maschine oder eines Autos sind schwingungsfähige Gebilde. Fällt die Drehzahl des Motors mit der Eigenfrequenz eines solchen Teils zusammen, so erzeugt er Resonanzschwingungen. Derartige Schwingungen können so stark werden, daß sie zu Zerstörungen führen. Auf Drehzahlmessern werden die Bereiche solcher kritischen Drehzahlen durch rote Sektoren gekennzeichnet; auf ihnen soll der Zeiger des Instruments nicht lange verweilen.



143.1 Luftlöse bringen das schwere Pendel zum Schwingen



143.2 Frequenzmesser. Der halb durchsichtig erscheinende Deckel läßt die Stahrlängen erkennen, die durch Beschuern mit Lötlötzin an oberen Ende auf die richtige Eigenfrequenz gebracht sind. Die Zunge mit 1400 Hz schwingt in Resonanz

Input

an den Ausschlägen des kleinen Pendelchens, daß jetzt die andere Stimmgabel schwingt. Es ist Resonanz eingetreten. Offenbar hat die Luft die Schwingungen der einen Gabel auf die andere übertragen. Daß so etwas möglich ist, soll uns ein weiterer Versuch mit ganz langsamen Schwingungen zeigen:

Ein 2 kg-Wägestück wird an einem etwa 2 m langen Faden aufgehängt. Dann blasen wir einmal kräftig dagegen. Der Erfolg ist eine kaum wahrnehmbare Pendelschwingung. Wir können sie aber leicht zu kräftigen Schwingungen aufschaukeln, wenn wir noch ein paar Mal gegen das Pendel blasen. Voraussetzung dafür ist, daß dies immer in der Eigenfrequenz der Pendelschwingung im richtigen Augenblick geschieht (Abb. 143.1).

Bei dem Versuch mit den beiden Resonanzstimmgabeln waren die kleinen Luftlöse, die die erste Gabel verursachte, imstande, die zweite zu kräftigen Schwingungen aufzuschaukeln. Beide Gabeln hatten die gleiche Eigenfrequenz, deshalb erfolgten die Luftlöse immer im richtigen Augenblick.

Ein weiterer Versuch zeigt, daß auch bei den Resonanzstimmgabeln die anregende und die angeorgte Frequenz gleich sein müssen, wenn Resonanz eintreten soll:

Wir erniedrigen die Frequenz einer der Gabeln durch ein kleines Zusatzkörperchen, das wir an ihre Zinken klemmen. Wiederholen wir jetzt den Versuch 14, so finden wir keine Resonanz mehr.

Erfährt ein schwingungsfähiger Körper aufeinanderfolgend kleine Stöße in seiner Eigenfrequenz, so wird er zu kräftigen Schwingungen ange-regt: es tritt Resonanz ein.

Eine praktische Anwendung findet die Resonanz beim Bau von Frequenzmessern. Solche Geräte besitzen viele Stahrlängen verschiedener Länge. Die zu messende Frequenz regt die Zunge zum Schwingen an, deren Eigenfrequenz mit ihr übereinstimmt (s. Abb. 143.2).

Manche Teile einer Maschine oder eines Autos sind schwingungsfähige Gebilde. Fällt die Drehzahl des Motors mit der Eigenfrequenz eines solchen Teils zusammen, so erzeugt er Resonanzschwingungen. Derartige Schwingungen können so stark werden, daß sie zu Zerstörungen führen. Auf Drehzahlmessern werden die Bereiche solcher kritischen Drehzahlen durch rote Sektoren gekennzeichnet; auf ihnen soll der Zeiger des Instruments nicht lange verweilen.

143.1 Luftlöse bringen das schwere Pendel zum Schwingen

143.2 Frequenzmesser. Der halb durchsichtig erscheinende Deckel läßt die Stahrlängen erkennen, die durch Beschuern mit Lötlötzin an oberen Ende auf die richtige Eigenfrequenz gebracht sind. Die Zunge mit 1400 Hz schwingt in Resonanz

Expected output

an den Ausschlägen des kleinen Pendelchens, daß jetzt die andere Stimmgabel schwingt. Es ist Resonanz eingetreten. Offenbar hat die Luft die Schwingungen der einen Gabel auf die andere übertragen. Daß so etwas möglich ist, soll uns ein weiterer Versuch mit ganz langsamen Schwingungen zeigen:

 Ein 2 kg-Wägestück wird an einem etwa 2 m langen Faden aufgehängt. Dann blasen wir einmal kräftig dagegen. Der Erfolg ist eine kaum wahrnehmbare Pendelschwingung. Wir können sie aber leicht zu kräftigen Schwingungen aufschaukeln, wenn wir noch ein paar Mal gegen das Pendel blasen. Voraussetzung dafür ist, daß dies immer in der Eigenfrequenz der Pendelschwingung im richtigen Augenblick geschieht (Abb. 143.1).

Bei dem Versuch mit den beiden Resonanzstimmgabeln waren die kleinen Luftlöse, die die erste Gabel verursachte, imstande, die zweite zu kräftigen Schwingungen aufzuschaukeln. Beide Gabeln hatten die gleiche Eigenfrequenz, deshalb erfolgten die Luftlöse immer im richtigen Augenblick.

Ein weiterer Versuch zeigt, daß auch bei den Resonanzstimmgabeln die anregende und die angeorgte Frequenz gleich sein müssen, wenn Resonanz eintreten soll:

 Wir erniedrigen die Frequenz einer der Gabeln durch ein kleines Zusatzkörperchen, das wir an ihre Zinken klemmen. Wiederholen wir jetzt den Versuch 14, so finden wir keine Resonanz mehr.

Erfährt ein schwingungsfähiger Körper aufeinanderfolgend kleine Stöße in seiner Eigenfrequenz, so wird er zu kräftigen Schwingungen ange-regt: es tritt Resonanz ein.

Eine praktische Anwendung findet die Resonanz beim Bau von Frequenzmessern. Solche Geräte besitzen viele Stahrlängen verschiedener Länge. Die zu messende Frequenz regt die Zunge zum Schwingen an, deren Eigenfrequenz mit ihr übereinstimmt (s. Abb. 143.2).

Manche Teile einer Maschine oder eines Autos sind schwingungsfähige Gebilde. Fällt die Drehzahl des Motors mit der Eigenfrequenz eines solchen Teils zusammen, so erzeugt er Resonanzschwingungen. Derartige Schwingungen können so stark werden, daß sie zu Zerstörungen führen. Auf Drehzahlmessern werden die Bereiche solcher kritischen Drehzahlen durch rote Sektoren gekennzeichnet; auf ihnen soll der Zeiger des Instruments nicht lange verweilen.



143.1 Luftlöse bringen das schwere Pendel zum Schwingen



143.2 Frequenzmesser. Der halb durchsichtig erscheinende Deckel läßt die Stahrlängen erkennen, die durch Berühren mit Lötlötzen an oberem Ende auf die richtige Eigenfrequenz gebracht sind. Die Zunge mit 1400 Hz schwingt in Resonanz

Input

an den Ausschlägen des kleinen Pendelchens, daß jetzt die andere Stimmgabel schwingt. Es ist Resonanz eingetreten. Offenbar hat die Luft die Schwingungen der einen Gabel auf die andere übertragen. Daß so etwas möglich ist, soll uns ein weiterer Versuch mit ganz langsamen Schwingungen zeigen:

Ein 2 kg-Wägestück wird an einem etwa 2 m langen Faden aufgehängt. Dann blasen wir einmal kräftig dagegen. Der Erfolg ist eine kaum wahrnehmbare Pendelschwingung. Wir können sie aber leicht zu kräftigen Schwingungen aufschaukeln, wenn wir noch ein paar Mal gegen das Pendel blasen. Voraussetzung dafür ist, daß dies immer in der Eigenfrequenz der Pendelschwingung im richtigen Augenblick geschieht (Abb. 143.1).

Bei dem Versuch mit den beiden Resonanzstimmgabeln waren die kleinen Luftlöse, die die erste Gabel verursachte, imstande, die zweite zu kräftigen Schwingungen aufzuschaukeln. Beide Gabeln hatten die gleiche Eigenfrequenz, deshalb erfolgten die Luftlöse immer im richtigen Augenblick.

Ein weiterer Versuch zeigt, daß auch bei den Resonanzstimmgabeln die anregende und die angeorgte Frequenz gleich sein müssen, wenn Resonanz eintreten soll:

Wir erniedrigen die Frequenz einer der Gabeln durch ein kleines Zusatzkörperchen, das wir an ihre Zinken klemmen. Wiederholen wir jetzt den Versuch 14, so finden wir keine Resonanz mehr.

Erfährt ein schwingungsfähiger Körper aufeinanderfolgend kleine Stöße in seiner Eigenfrequenz, so wird er zu kräftigen Schwingungen ange-regt: es tritt Resonanz ein.

Eine praktische Anwendung findet die Resonanz beim Bau von Frequenzmessern. Solche Geräte besitzen viele Stahrlängen verschiedener Länge. Die zu messende Frequenz regt die Zunge zum Schwingen an, deren Eigenfrequenz mit ihr übereinstimmt (s. Abb. 143.2).

Manche Teile einer Maschine oder eines Autos sind schwingungsfähige Gebilde. Fällt die Drehzahl des Motors mit der Eigenfrequenz eines solchen Teils zusammen, so erzeugt er Resonanzschwingungen. Derartige Schwingungen können so stark werden, daß sie zu Zerstörungen führen. Auf Drehzahlmessern werden die Bereiche solcher kritischen Drehzahlen durch rote Sektoren gekennzeichnet; auf ihnen soll der Zeiger des Instruments nicht lange verweilen.

143.1 Luftlöse bringen das schwere Pendel zum Schwingen

143.2 Frequenzmesser. Der halb durchsichtig erscheinende Deckel läßt die Stahrlängen erkennen, die durch Berühren mit Lötlötzen an oberem Ende auf die richtige Eigenfrequenz gebracht sind. Die Zunge mit 1400 Hz schwingt in Resonanz

Test output

Wenn zwischen den Enden eines Leiters die Spannung U liegt und in ihm Strom der Stärke I fließt, berechnet man den Widerstand R des Leiters nach

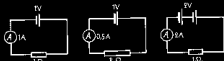
$$R = \frac{U}{I} \text{ (Definition des Widerstands), (268.1)}$$

Die Einheit des Widerstandes ist 1 Ohm (Ω) = 1 Volt/Ampere.

3. G. S. Ohm untersuchte auch, wie sich der Widerstand eines Drahtes beim Erwärmen ändert:



Erhitze mit dem Bunsenbrenner eine Wendel aus dünnem Eisendraht, die nach Abb. 268.3 in einem Stromkreis liegt. Die Stromstärke I sinkt erheblich, obwohl die Spannung U konstant bleibt. Nach $R = U/I$ steigt also beim Erwärmen der Widerstand des Eisens an (Abb. 268.4). Konstantan behält nach Abb. 268.4 beim Erhitzen konstanten Widerstand. Deshalb blieb stromtauglich durch den Strom konstant. Aus dem gleichen Grund benötigt man diese und ähnliche Legierungen in Meßgeräten. Bei Kohle sinkt beim Erwärmen der Widerstand.



268.3 Stimmen die Angaben?

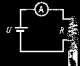
Mit nach V.76 den Widerstand einer Glühlampe bei sehr kleiner Stromstärke! Auf welchen Wert steigt er bei normaler Belastung infolge der Erwärmung?

Der Widerstand von Metallen nimmt im allgemeinen beim Erwärmen zu.

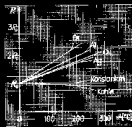
Stellt man durch Versuch den Zusammenhang zwischen Widerstand und Temperatur fest, so kann man nachher aus dem gemessenen Widerstand auf die Temperatur schließen. Diese Widerstandsthermometer gestalten auf elektrischem Wege Temperaturen an entfernten oder schwer zugänglichen Orten sowie bei großer Hitze zu messen (Flugzeugmotoren, Öfen). Siehe auch § 112.



268.1 Georg Simon Ohm wurde 1789 in Erlangen geboren, war Gymnasiallehrer in Köln (wo er um 1806 das nach ihm benannte Gesetz fand), Direktor der Polytechnischen Schule in Nürnberg und Professor in München, wo er 1854 starb. Er untersuchte auch die Oberläufe von Flüssen (Bild aus dem Deutsches Museum, München)



268.2 Beim Erwärmen steigt der Widerstand des Metalls



268.4 Temperaturabhängigkeit von Widerständen

Wenn zwischen den Enden eines Leiters die Spannung U liegt und in ihm Strom der Stärke I fließt, berechnet man den Widerstand R des Leiters nach

$$R = \frac{U}{I} \text{ (Definition des Widerstands), (268.1)}$$

Die Einheit des Widerstandes ist 1 Ohm (Ω) = 1 Volt/Ampere.

3. G. S. Ohm untersuchte auch, wie sich der Widerstand eines Drahtes beim Erwärmen ändert:



Erhitze mit dem Bunsenbrenner eine Wendel aus dünnem Eisendraht, die nach Abb. 268.3 in einem Stromkreis liegt. Die Stromstärke I sinkt erheblich, obwohl die Spannung U konstant bleibt. Nach $R = U/I$ steigt also beim Erwärmen der Widerstand des Eisens an (Abb. 268.4). Konstantan behält nach Abb. 268.4 beim Erhitzen konstanten Widerstand. Deshalb blieb stromtauglich durch den Strom konstant. Aus dem gleichen Grund benötigt man diese und ähnliche Legierungen in Meßgeräten. Bei Kohle sinkt beim Erwärmen der Widerstand.

268.1 Georg Simon Ohm wurde 1789 in Erlangen geboren, war Gymnasiallehrer in Köln (wo er um 1806 das nach ihm benannte Gesetz fand), Direktor der Polytechnischen Schule in Nürnberg und Professor in München, wo er 1854 starb. Er untersuchte auch die Oberläufe von Flüssen (Bild aus dem Deutsches Museum, München)

268.2 Stimmen die Angaben?

268.2 Beim Erwärmen steigt der Widerstand des Metalls

Mit nach V.76 den Widerstand einer Glühlampe bei sehr kleiner Stromstärke! Auf welchen Wert steigt er bei normaler Belastung infolge der Erwärmung?

Der Widerstand von Metallen nimmt im allgemeinen beim Erwärmen zu.

Stellt man durch Versuch den Zusammenhang zwischen Widerstand und Temperatur fest, so kann man nachher aus dem gemessenen Widerstand auf die Temperatur schließen. Diese Widerstandsthermometer gestalten auf elektrischem Wege Temperaturen an entfernten oder schwer zugänglichen Orten sowie bei großer Hitze zu messen (Flugzeugmotoren, Öfen). Siehe auch § 112.

268.4 Temperaturabhängigkeit von Widerständen

Input

Expected output

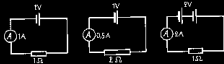
Wenn zwischen den Enden eines Leiters die Spannung U liegt und in ihm Strom der Stärke I fließt, berechnet man den Widerstand R des Leiters nach

$$R = \frac{U}{I} \quad (\text{Definition des Widerstands}), (268.1)$$

Die Einheit des Widerstandes ist $1 \text{ Ohm} (\Omega) = 1 \text{ Volt/Ampere}$.

3. G. S. Ohm untersuchte auch, wie sich der Widerstand eines Drahtes beim Erwärmen ändert:

 Erhitze mit dem Bunsenbrenner eine Wendel aus dünnem Eisendraht, die nach Abb. 268.3 in einem Stromkreis liegt. Die Stromstärke I sinkt erheblich, obwohl die Spannung U konstant bleibt. Nach $R = U/I$ steigt also beim Erwärmen der Widerstand des Eisens an (Abb. 268.4). Konstantan behält nach Abb. 268.4 beim Erhitzen konstanten Widerstand. Deshalb blieb in V 76 der Widerstand trotz der Erwärmung des Konstantendrahts durch den Strom konstant. Aus dem gleichen Grund besitzt man diese und ähnliche Legierungen in Meßgeräten. Bei Kohle sinkt beim Erwärmen der Widerstand.



268.3 Stimmen die Angaben?

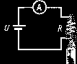
 Mit nach V 76 den Widerstand einer Glühlampe bei sehr kleiner Stromstärke! Auf welchen Wert steigt er bei normaler Belastung infolge der Erwärmung?

Der Widerstand von Metallen nimmt im allgemeinen beim Erwärmen zu.

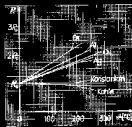
Stellt man durch Versuch den Zusammenhang zwischen Widerstand und Temperatur fest, so kann man nachher aus dem gemessenen Widerstand auf die Temperatur schließen. Diese Widerstandsthermometer gestalten auf elektrischem Wege Temperaturen an entfernten oder schwer zugänglichen Orten sowie bei großer Hitze zu messen (Flugzeugmotoren, Öfen). Siehe auch § 112.



268.1 Georg Simon Ohm wurde 1789 in Erlangen geboren, war Gymnasiallehrer in Köln (wo er um 1808 das nach ihm benannte Gesetz fand), Direktor der Polytechnischen Schule in Nürnberg und Professor in München, wo er 1854 starb. Er untersuchte auch die Oberleitung von Hingen (Bild aus dem Deutsches Museum, München)



268.2 Beim Erwärmen steigt der Widerstand des Metalls



268.4 Temperaturabhängigkeit von Widerständen

Wenn zwischen den Enden eines Leiters die Spannung U liegt und in ihm Strom der Stärke I fließt, berechnet man den Widerstand R des Leiters nach

$$R = \frac{U}{I} \quad (\text{Definition des Widerstands}), (268.1)$$

Die Einheit des Widerstandes ist $1 \text{ Ohm} (\Omega) = 1 \text{ Volt/Ampere}$.

3. G. S. Ohm untersuchte auch, wie sich der Widerstand eines Drahtes beim Erwärmen ändert:

 Erhitze mit dem Bunsenbrenner eine Wendel aus dünnem Eisendraht, die nach Abb. 268.3 in einem Stromkreis liegt. Die Stromstärke I sinkt erheblich, obwohl die Spannung U konstant bleibt. Nach $R = U/I$ steigt also beim Erwärmen der Widerstand des Eisens an (Abb. 268.4). Konstantan behält nach Abb. 268.4 beim Erhitzen konstanten Widerstand. Deshalb blieb in V 76 der Widerstand trotz der Erwärmung des Konstantendrahts durch den Strom konstant. Aus dem gleichen Grund besitzt man diese und ähnliche Legierungen in Meßgeräten. Bei Kohle sinkt beim Erwärmen der Widerstand.

268.1 Georg Simon Ohm wurde 1789 in Erlangen geboren, war Gymnasiallehrer in Köln (wo er um 1808 das nach ihm benannte Gesetz fand), Direktor der Polytechnischen Schule in Nürnberg und Professor in München, wo er 1854 starb. Er untersuchte auch die Oberleitung von Hingen (Bild aus dem Deutsches Museum, München)

268.2 Stimmen die Angaben?

268.3 Beim Erwärmen steigt der Widerstand des Metalls

Mit nach V 76 den Widerstand einer Glühlampe bei sehr kleiner Stromstärke! Auf welchen Wert steigt er bei normaler Belastung infolge der Erwärmung?

Der Widerstand von Metallen nimmt im allgemeinen beim Erwärmen zu.

Stellt man durch Versuch den Zusammenhang zwischen Widerstand und Temperatur fest, so kann man nachher aus dem gemessenen Widerstand auf die Temperatur schließen. Diese Widerstandsthermometer gestalten auf elektrischem Wege Temperaturen an entfernten oder schwer zugänglichen Orten sowie bei großer Hitze zu messen (Flugzeugmotoren, Öfen). Siehe auch § 112.

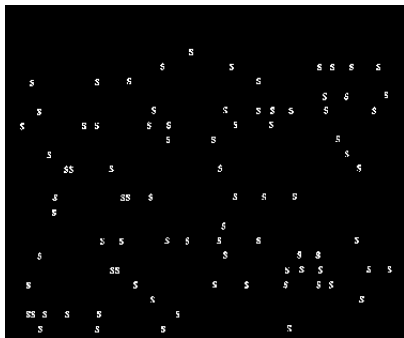
268.4 Temperaturabhängigkeit von Widerständen

Input

Test output

paixão ainda num grau mais elevado do que a que foi adotado como diretriz consciente de sua vida e dos seus desejos orientados no sentido do objeto. Este último, quer dizer, o extrovertido, procura abrir caminho por todos os lados, mas acabará por constatar que são os seus pensamentos e sentimentos subjetivos os que lhe saem sempre ao caminho, para o perturbarem. Está mais influenciado pelo seu mundo psíquico interior do que imagina. O próprio não se apercebe disso, mas quem viver na sua intimidade e o observar com atenção, verificará que ele atua em obediência a um propósito. Por isso, sua norma básica será sempre formular para si próprio a pergunta: "O que é que verdadeiramente quero? Qual é minha intenção secreta?" O outro, o introvertido, com seus propósitos conscientes e premeditados, deixa sempre de ver aquilo que é visto por todos os que o cercam com excessiva clareza; quer dizer, os seus propósitos estão realmente a serviço de instintos fortes, mas sem intenção nem objetivo, e são em grande parte influenciados por esses instintos. Quem observar e julgar o extrovertido inclina-se a considerar o sentimento e o pensamento que ele

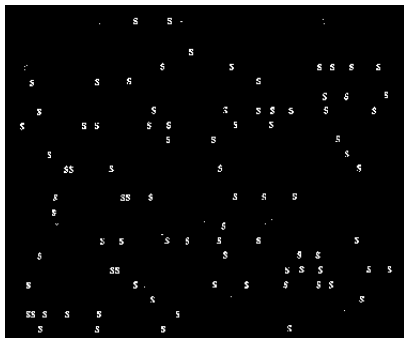
Input



Expected output

paixão ainda num grau mais elevado do que a que foi adotado como diretriz consciente de sua vida e dos seus desejos orientados no sentido do objeto. Este último, quer dizer, o extrovertido, procura abrir caminho por todos os lados, mas acabará por constatar que são os seus pensamentos e sentimentos subjetivos os que lhe saem sempre ao caminho, para o perturbarem. Está mais influenciado pelo seu mundo psíquico interior do que imagina. O próprio não se apercebe disso, mas quem viver na sua intimidade e o observar com atenção, verificará que ele atua em obediência a um propósito. Por isso, sua norma básica será sempre formular para si próprio a pergunta: "O que é que verdadeiramente quero? Qual é minha intenção secreta?" O outro, o introvertido, com seus propósitos conscientes e premeditados, deixa sempre de ver aquilo que é visto por todos os que o cercam com excessiva clareza; quer dizer, os seus propósitos estão realmente a serviço de instintos fortes, mas sem intenção nem objetivo, e são em grande parte influenciados por esses instintos. Quem observar e julgar o extrovertido inclina-se a considerar o sentimento e o pensamento que ele

Input



Test output

Mr. S. Clay Williams.

R. J. REYNOLDS TOBACCO CO.
Chemical Department

August 31, 1933

Subject: Fertilizer value of tobacco dusts and stems.

The following results show the percentages of Potassium as potash (K₂O) and Nitrogen as ammonia (NH₃) in our tobacco dusts and stems. These results are the averages of 18 tests of each sample collected during a period of two months from May 11, 1933 to July 11, 1933.

Sample	Aver. % Potash	Aver. % Ammonia
DUST - O.A. -----	3.29	1.73
" - Pan -----	2.37	1.94
" - No. 11 -----	1.18	1.61
" - Camel - Adt driers -----	1.04	1.29
" - " - Redressers -----	1.15	1.25
" - " - Hopper pan -----	1.16	1.41
" - " - Drawer -----	1.04	1.88
" - " - Leaf scrap - bk.rm. ---	0.87	1.16
" - " - Floor sweepings -----	1.93	1.56
STEMS - No. 8 -----	6.43	2.47
" - No. 13 -----	8.78	2.94

E. B. Howard

58737 4932

516

Mr. S. Clay Williams.

R. J. REYNOLDS TOBACCO CO.
Chemical Department

August 31, 1933

Subject: Fertilizer value of tobacco dusts and stems.

The following results show the percentages of Potassium as potash (K₂O) and Nitrogen as ammonia (NH₃) in our tobacco dusts and stems. These results are the averages of 18 tests of each sample collected during a period of two months from May 11, 1933 to July 11, 1933.

Sample	Aver. % Potash	Aver. % Ammonia
DUST - O.A. -----	3.29	1.73
" - Pan -----	2.37	1.94
" - No. 11 -----	1.18	1.61
" - Camel - Adt driers -----	1.04	1.29
" - " - Redressers -----	1.15	1.25
" - " - Hopper pan -----	1.16	1.41
" - " - Drawer -----	1.04	1.88
" - " - Leaf scrap - bk.rm. ---	0.87	1.16
" - " - Floor sweepings -----	1.93	1.56
STEMS - No. 8 -----	6.43	2.47
" - No. 13 -----	8.78	2.94

E. B. Howard

58737 4932

516

of B&W and shall be kept in confidence by Consultant. This obligation of confidentiality shall survive the termination of this agreement.

If the above is acceptable to you, please indicate your acceptance by signing and dating the duplicate copies where indicated and returning one copy to B&W.

Very truly yours,

BROWN & WILLIAMSON TOBACCO
CORPORATION

By George E. Higgins

ACCEPTED:

By Rudolf Padak MD

Date March 22, 1986

SIBGRAPI 1986

of B&W and shall be kept in confidence by Consultant. This obligation of confidentiality shall survive the termination of this agreement.

If the above is acceptable to you, please indicate your acceptance by signing and dating the duplicate copies where indicated and returning one copy to B&W.

Very truly yours,

BROWN & WILLIAMSON TOBACCO
CORPORATION

By George E. Higgins

ACCEPTED:

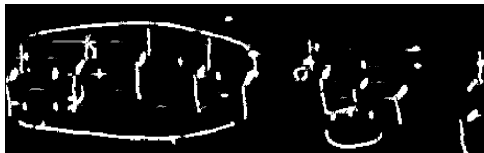
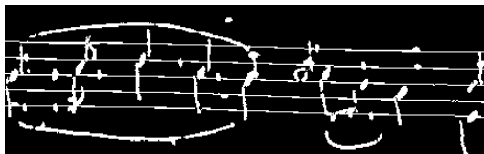
By Rudolf Padak MD

Date March 22, 1986

SIBGRAPI 1986

Handwritten musical scores

Staff line removal:



Synthetically generated musical scores



PRACTICAL SESSION

TRIOSLib

Laboratory session exercises 1 to 4

<http://bit.ly/2dtL5en>

TRIOSlib

TRIOSlib: research library containing implementations of many WOperator learning techniques.

- Integrates with **Numpy, Scipy, scikit-learn**.
- Extensible design: new techniques implemented without changing the library.
- Error measuring, persistence on disk, parallel implementations, ...
- Used in many published papers.

Available at <https://sourceforge.net/projects/trioslib> and installable using `pip` and `conda`.

Important classes:

- `trios.Imageset`: list of triples (input,output,mask).
mask=None means that every pixel is processed.
- `trios.WOperator`: executes learning process;
- `trios.FeatureExtractor`:
 - raw pixels (`RAWFeatureExtractor` and `RAWBitFeatureExtractor`)
 - two-level patterns (`CombinationPattern`)
 - aperture
- `trios.Classifier`:
 - Boolean function minimization (`ISI`)
 - models from scikit-learn (`SKClassifier`)

Recent advances

Window determination

Empirical approach: Based on user experience; trial and error

Feature selection based methods

Window points ~ features / Window design ~ feature selection

- Interaction information: C. S. Santos, N. S. Hirata, and R. Hirata Jr., “An information theory framework for two-stage binary image operator design,” Pattern Recognition Letters, 2010
- RELIEF (feature selection algorithm): I. Montagner, R. Hirata Jr., and N. S. T. Hirata, “A machine learning based method for staff removal,” ICPR 2014

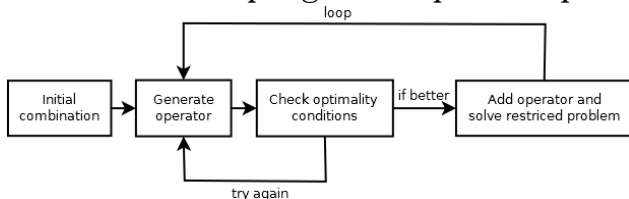
Measures to rank windows: discriminative power of windows

- Entropy based ranking: M. Dornelles and N. S. T. Hirata, “Selection of Windows for W-Operator Combination from Entropy Based Ranking,” SIBGRAPI 2015

Operator selection for combination

- Given a domain window W defined as a $m \times n = N$ rectangle, there are 2^N possible subwindows.
- Train a very strongly regularized sparse combination using all possible windows.
- Fast algorithms for linear sparse models(LASSO, L1-SVM).

Iterative solution is possible by checking optimality conditions and random sampling of the operator space.



Processing gray scale images

$$n = |W|$$

There are:

- 2^{2^n} binary W-operators
- k^{k^n} gray-level W-operators

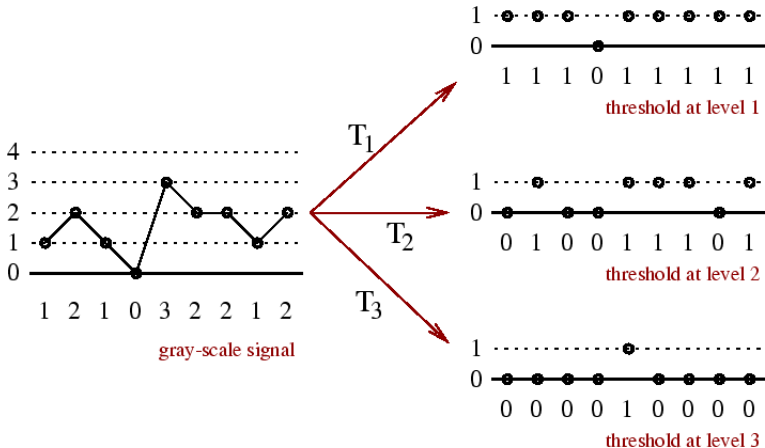
Computational cost (memory, processing) and **statistical precision** are challenging issues

Some possible approaches:

- constrain operator space: two-level, stack filters, aperture
- reduce window image variability

Some details next

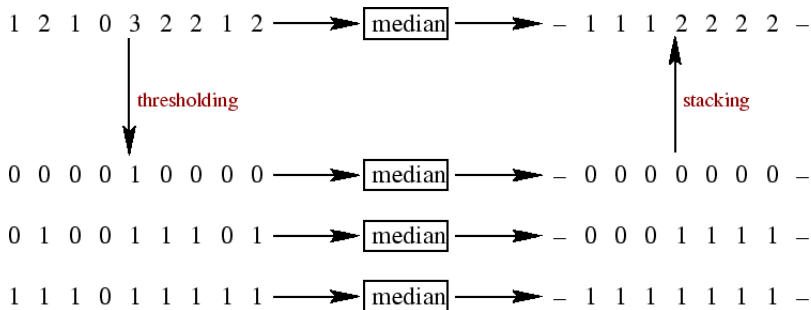
Gray-scale from binary

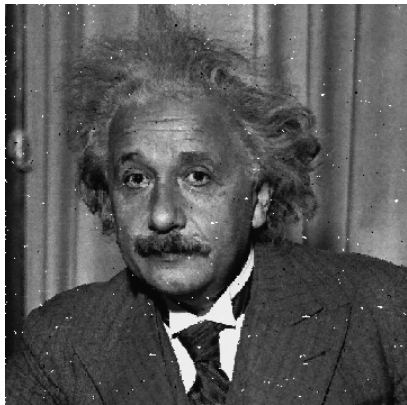
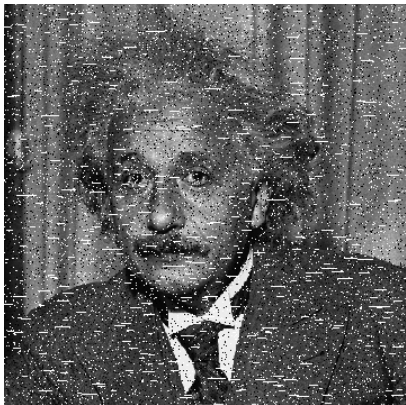


Threshold decomposition

Example of stack filter

Gray-scale median can be computed as the sum of the medians of the cross-sections





Test image and result

Aperture Operators

Class of operators to transform grayscale images.

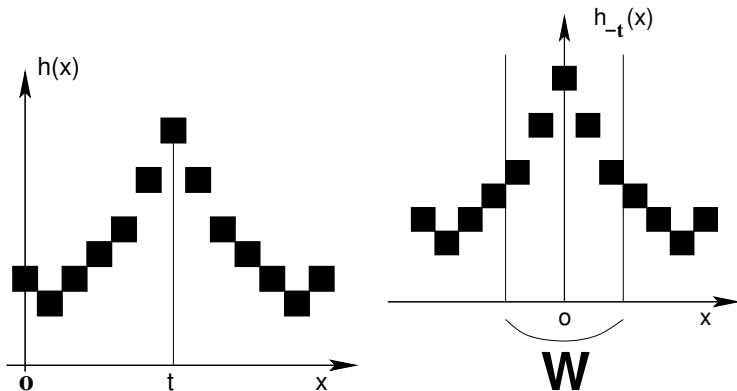
Number of possible binary operators: $2^{2^{|W|}}$.

Number of possible grayscale operators: $K^{K^{|W|}}$.

Now we have to restrict W and K .

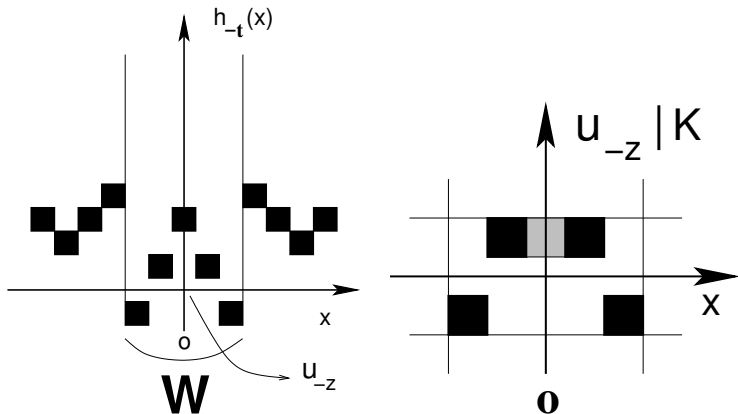
Aperture Operators

Besides translation invariance in the domain



Aperture Operators

we add translation invariance in grayscale



Aperture Operators

Translation invariance in the domain and in the range, locally defined by a window W and a range $K = \{-k, \dots, 0, \dots, k\}$

$$\Psi(f)(t) = \zeta_O(u^t) + \psi(u_{-\zeta_I(u^t)}^t | K)$$

where ζ_O and ζ_I are functions defined from K^W to N .

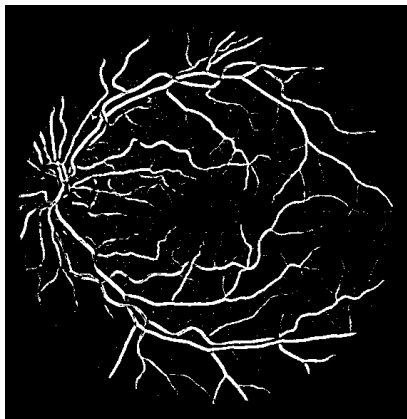
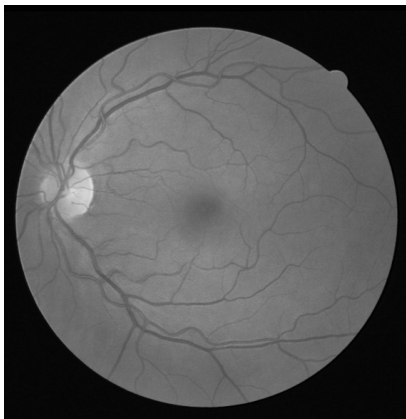
Kernel approximation

Main issue in training is **generalization**. Kernel SVMs offer good generalization, but require building a Gram matrix $K \in \mathbb{R}^{M \times M}$. In WOperator learning, $M \gg 100,000$.

Nyström method:

- approximate K using a small set of m examples, $m \ll M$.
- works for any kernel;
- exact solution for $m = M$.

More details: Friday 14:00-15:45 at TS10!



Trios - training image operators from samples

Available: <https://sourceforge.net/projects/trioslib>

Igor S. Montagner	<code>igordsm@ime.usp.br</code>
Nina S. T. Hirata	<code>nina@ime.usp.br</code>
Roberto Hirata Jr.	<code>hirata@ime.usp.br</code>